

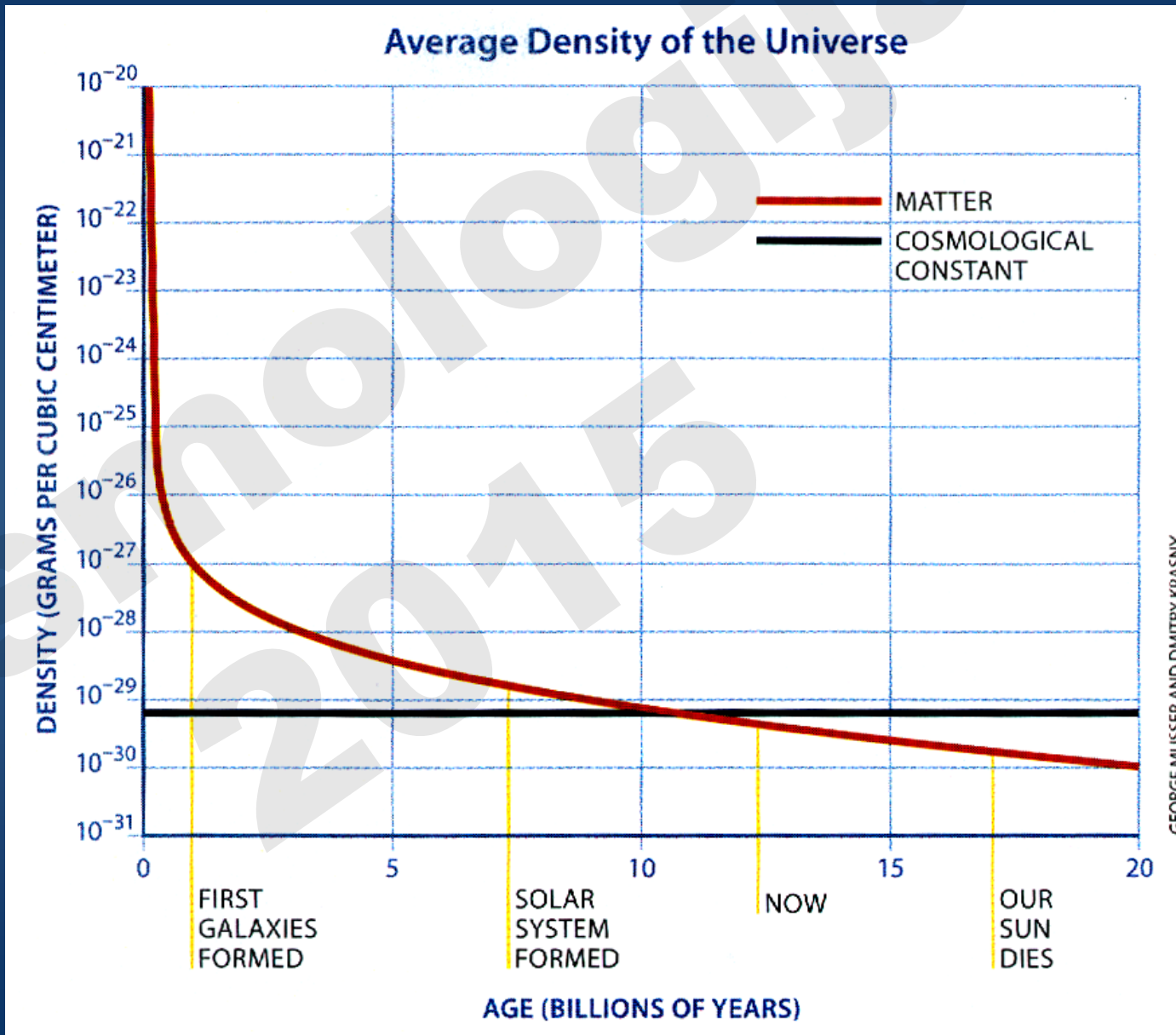
# Akustične oscilacije, integrisani Saks-Vulfeov efekat

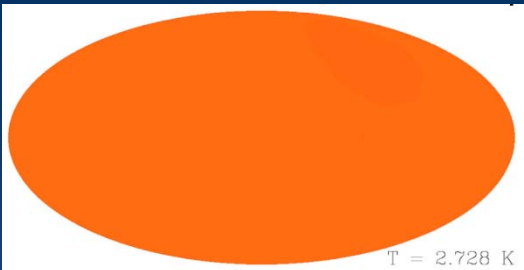
+

Šta se još dešavalo sa CMB  
fotonima na  $1090 > z \geq 0$

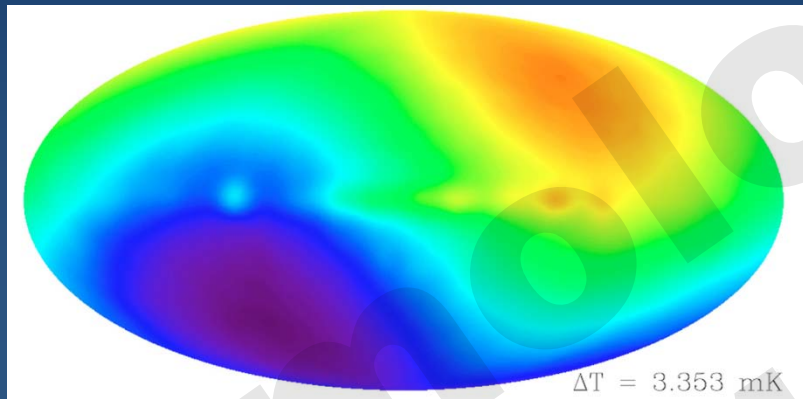
04. 09. 2015.

Ako je  $w = 1$ ...





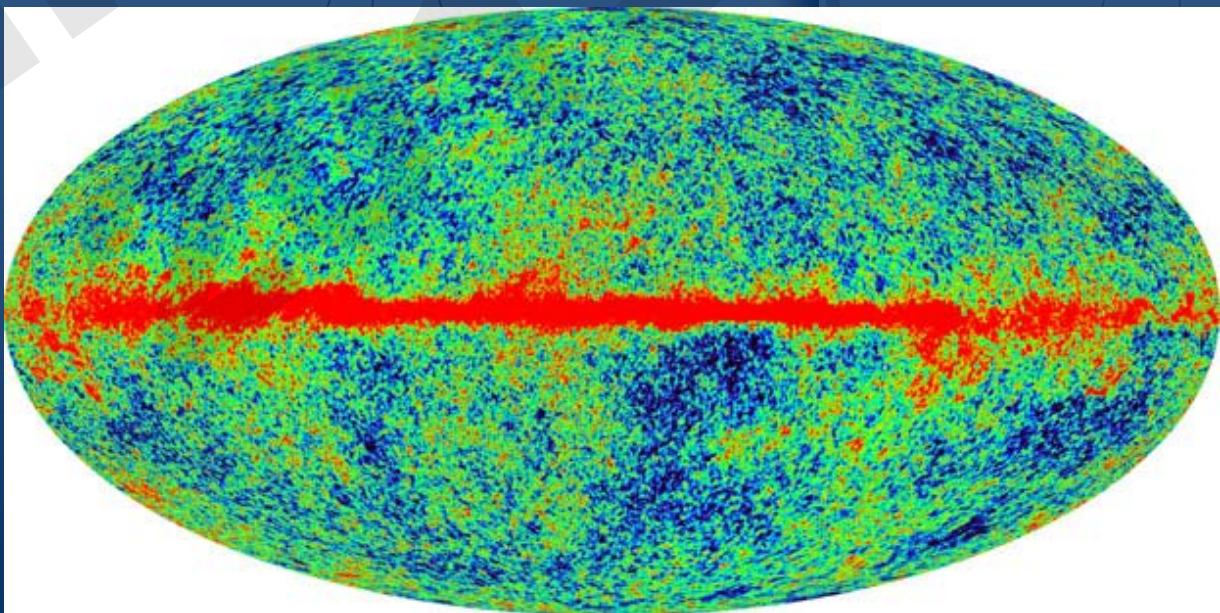
(skoro) izotropno 2.728K crno telo



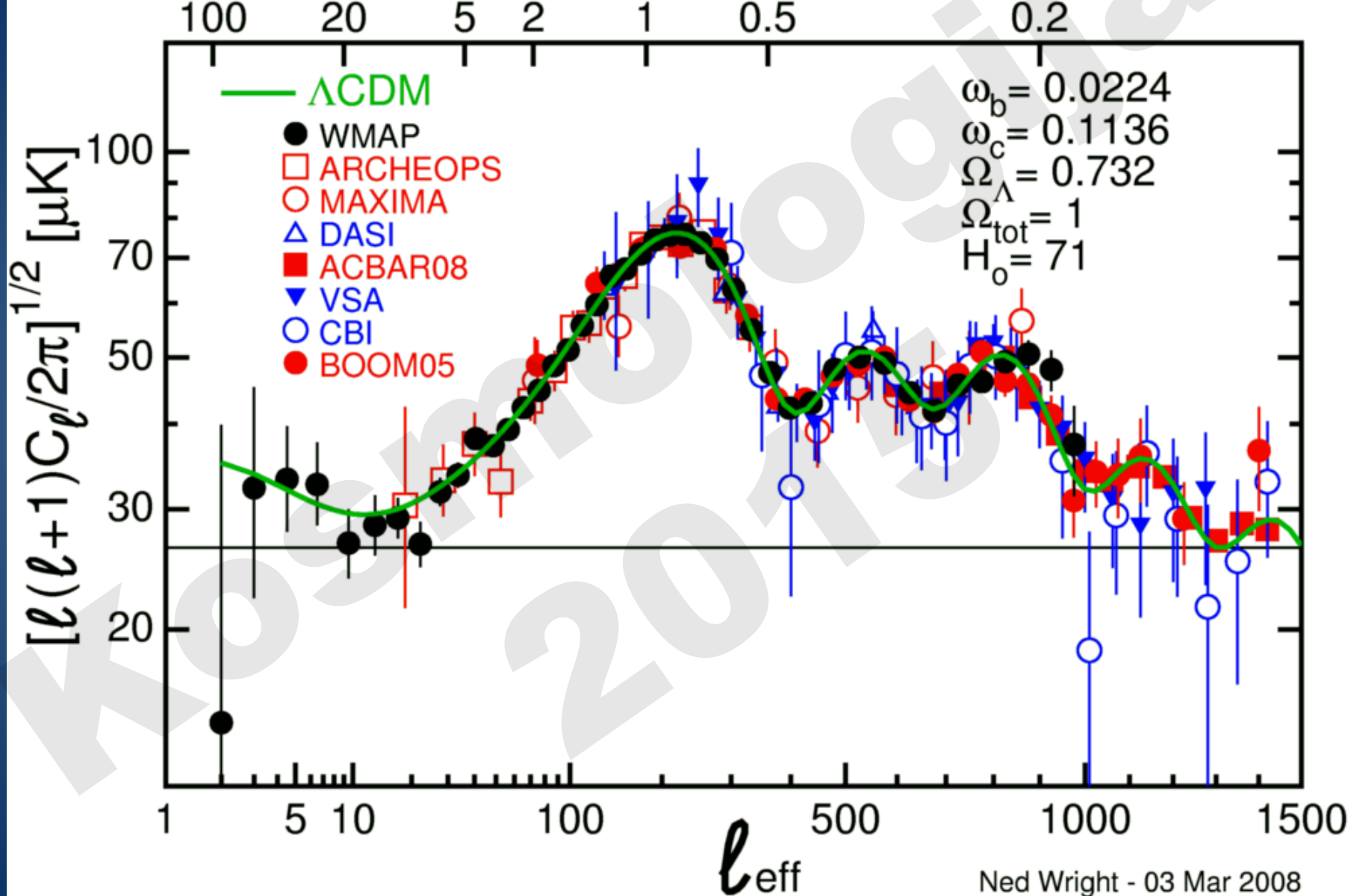
Dipolna anizotropija  
( $l = 1$ )

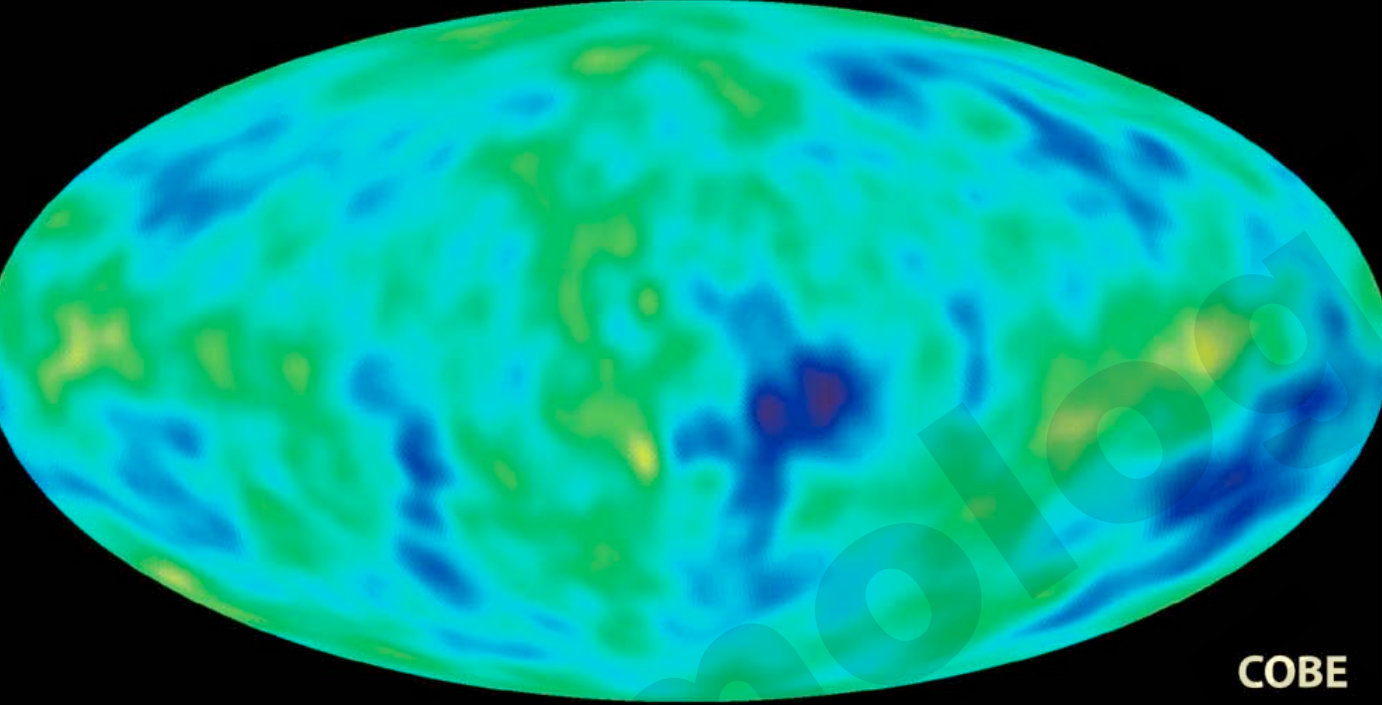
$O(10^{-5})$  perturbacije  
(+ Galaksija)

Posmatranja:  
mikrotalasno nebo  
danас (WMAP)  
sutra PLANCK?



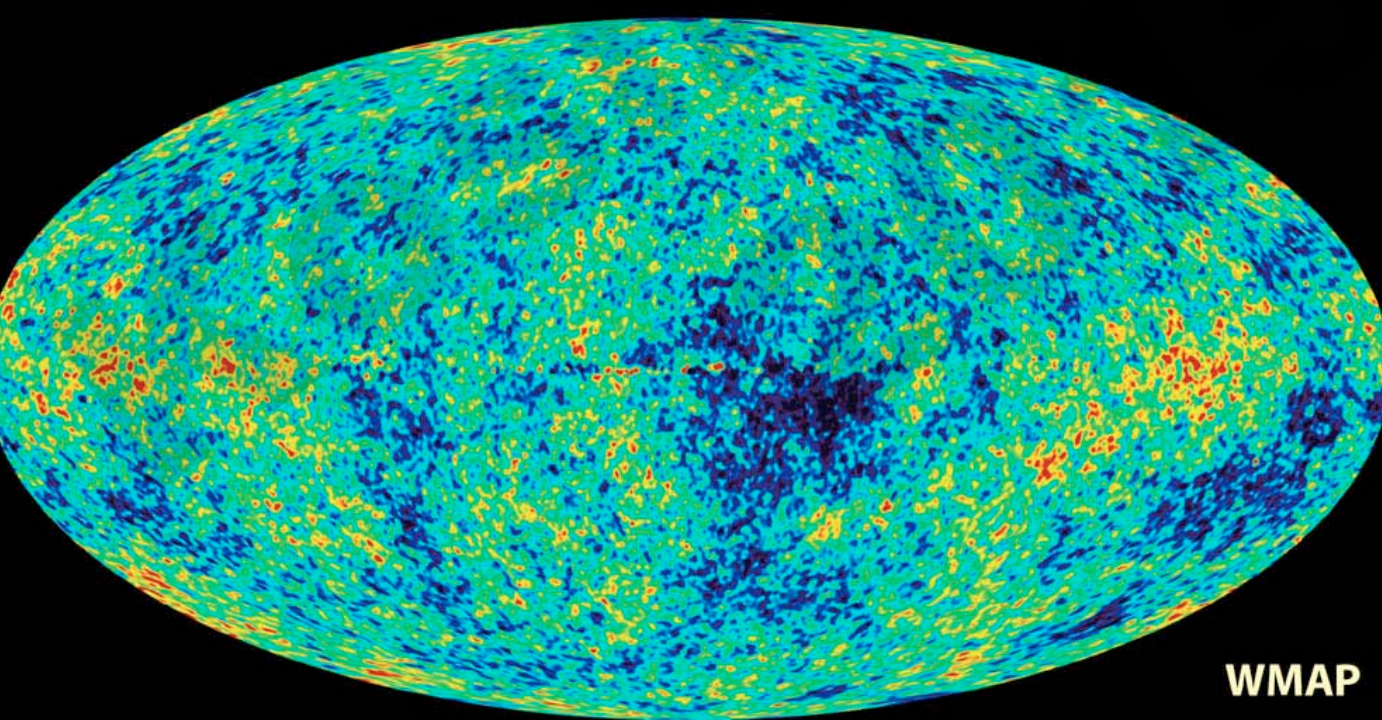
# Angular Scale [Degrees]

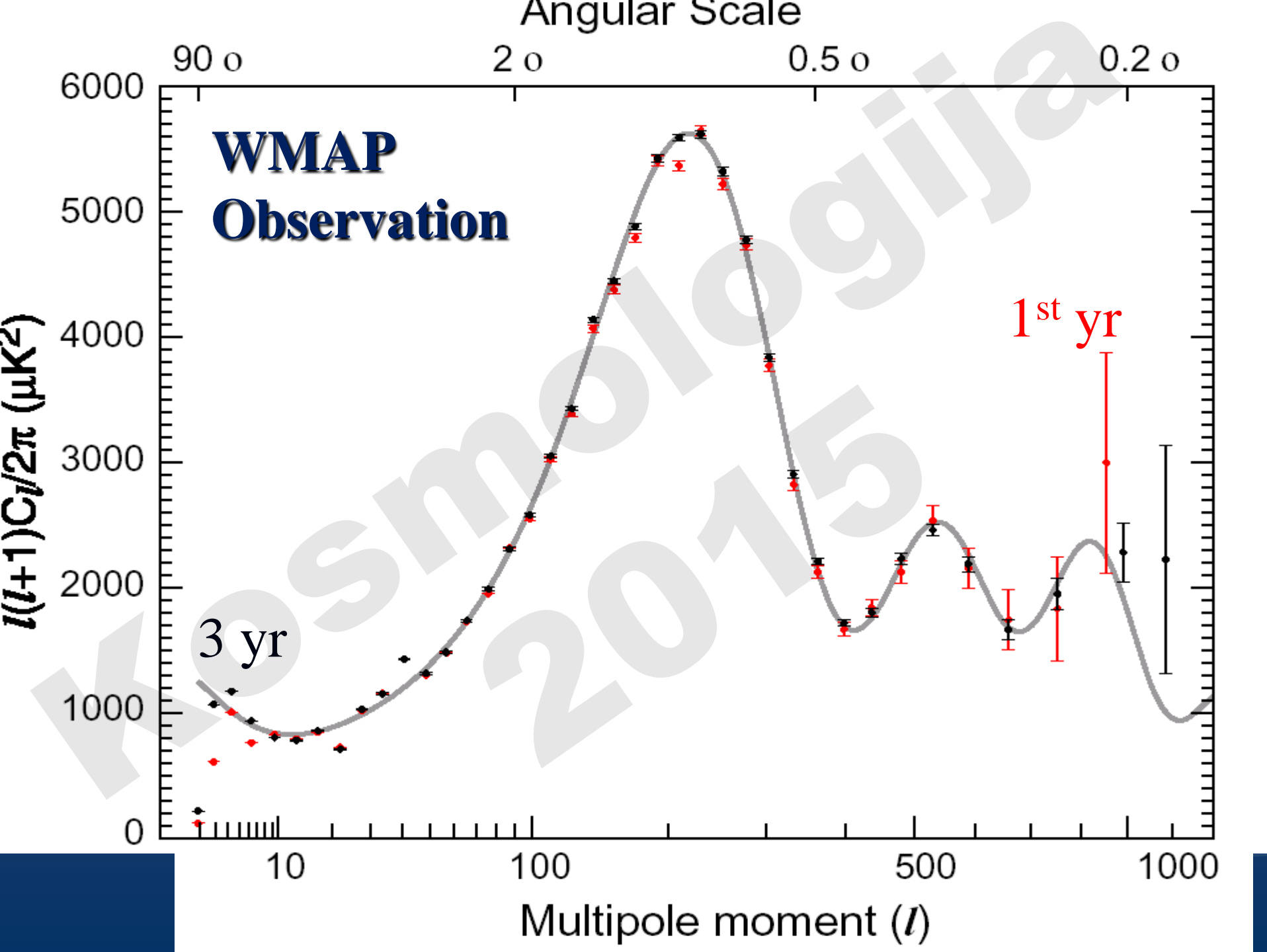




COBE &  
WMAP

COBE





# Veličina horizonta u doba rekombinacije

$$\begin{aligned} d_{\text{H}}^c(t_{\text{rec}}) &\equiv \int_0^{t_{\text{rec}}} \frac{cdt}{a} = \int_0^{a_{\text{rec}}} \frac{cda}{Ha^2} = \frac{c}{H_0} \int_0^{a_{\text{rec}}} \frac{1}{\sqrt{\Omega_m/a^3} a^2} \\ &= \frac{2c}{H_0 \sqrt{\Omega_m}} a_{\text{rec}}^{1/2} = \frac{2c}{H_0 \sqrt{\Omega_m}} (1 + z_{\text{rec}})^{-1/2} \\ &= 180 (\Omega_m h^2)^{-1/2} \left( \frac{1100}{1 + z_{\text{rec}}} \right)^{1/2} \text{Mpc} \end{aligned} \quad (1)$$

- Materija već dominira na površi poslednjeg rasejanja!
- $a$  – faktor skaliranja,  $H$  - Hablov parametar

# A danas?

- Ako zanemarimo tamnu energiju...
- $z=0$ , umesto  $z=1100$

$$\begin{aligned}d_H(t_0) &= 180(\Omega_M h^2)^{-1/2} (1100)^{1/2} \text{Mpc} \\&= 6000(\Omega_M h^2)^{-1/2} \text{Mpc}\end{aligned}$$

- Za "nove standardne" vrednosti, ovo je **16.1 Gpc** (MNOGO više od euklidske vrednosti  $\tau_0 c$ !)

# Ugaona veličina horizonta na $z \approx 1100$

- Ugaona veličina čestičnog horizonta iz doba rekombinacije

$$\theta = d_H^c(t_{rec}) / d_H(t_0) = 0.030 \text{ rad} = 1.7^\circ$$



1.7stepeni

$d_H(z=0)$

$d_H^c(z=1100)$

# Ugaoni spektar perturbacija

$$\Delta T/T(\mathbf{x}) \equiv \Theta(\mathbf{x}) = \sum_{\ell=1}^{\infty} \sum_{m=-\ell}^{\ell} a_{\ell m}(\mathbf{x}) Y_{\ell m}(\theta, \phi)$$

$$\langle a_{\ell m} \rangle = 0$$

$$\langle a_{\ell m} a_{\ell' m'}^* \rangle = \delta_{\ell \ell'} \delta_{mm'} C_{\ell}$$

$$\begin{aligned}\langle |\Theta|^2 \rangle &= \sum_{\ell} \sum_{\ell'} \sum_m \sum_{m'} \langle a_{\ell m} a_{\ell' m'}^* \rangle \\ &\quad \times \int d\theta \int d\phi Y_{\ell m}(\theta, \phi) Y_{\ell', m'}^*(\theta, \phi) \\ &= \sum_{\ell=1}^{\infty} \frac{2\ell + 1}{4\pi} C_{\ell}\end{aligned}$$

$$\langle |\Theta|^2 \rangle = \sum_l \frac{(2l+1)}{4\pi} C_l \approx \int \frac{(2l+1)}{4\pi} C_l \, dl = \int \frac{dl}{l} \frac{(2l+1)l}{4\pi} C_l$$

- $\Rightarrow$  logaritamski interval amplitude perturbacija po  $l$  je  $l(2l+1)C_l/4\pi$ , a često se koristi i

$$l(l+1)C_l/2\pi$$

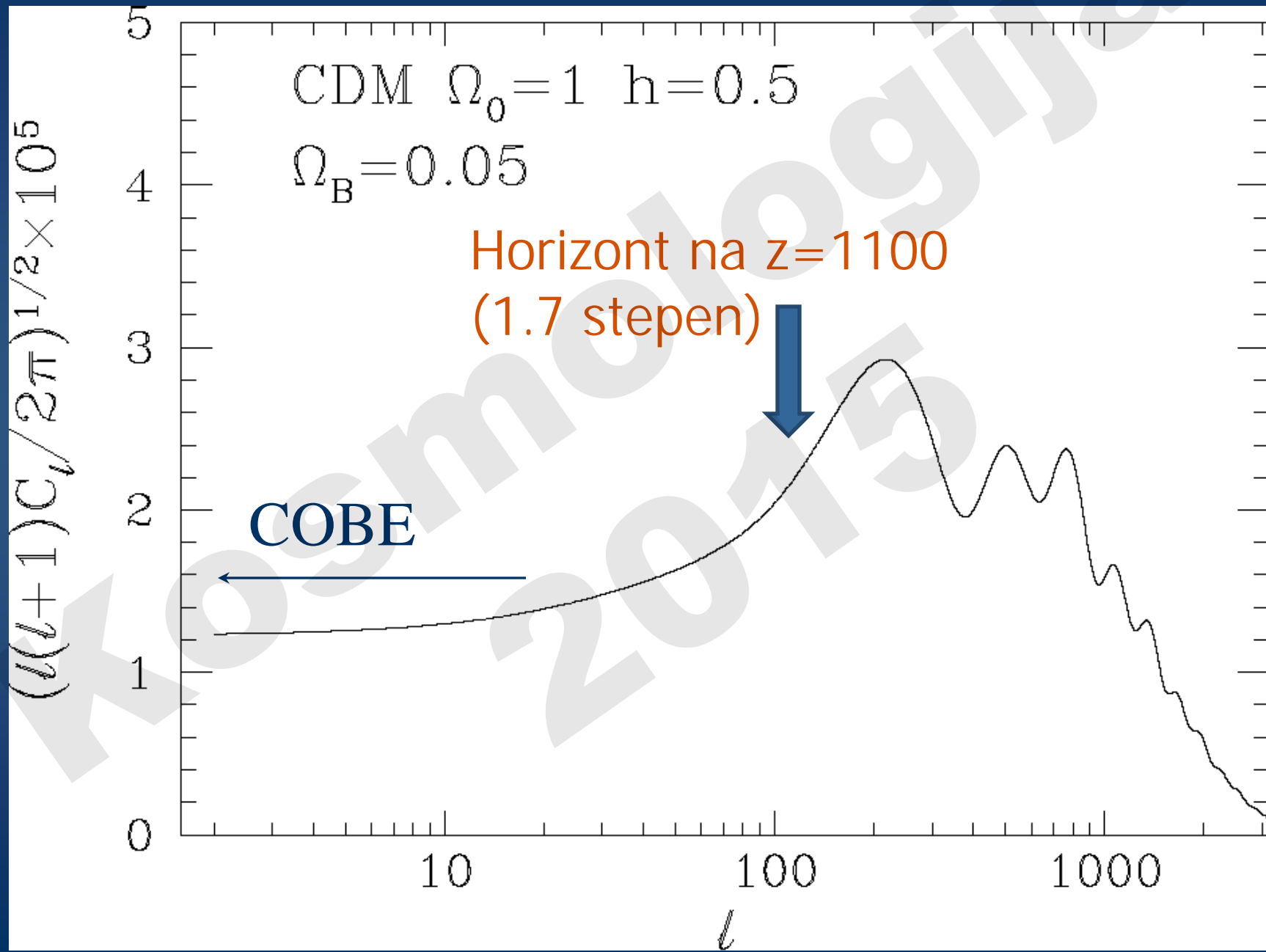
- $l$  odgovara ugaonoj veličini  $\theta$

$$l = \pi/\theta = 180 \times [(1 \text{ stepen})/\theta]$$

- COBE ugaona rezolucija  $= 7^\circ$ ,  $l < 16$

- Veličina horizonta ( $1.7^\circ$ ) odgovara  $l=110$

# Ugaona skala



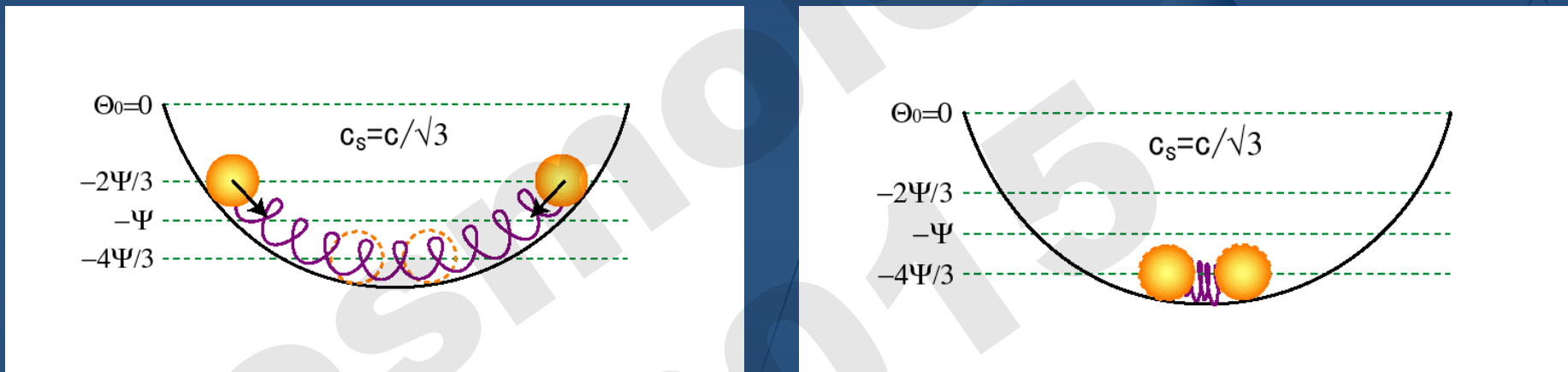
# Otkud akustične oscilacije?

- Pre rekombinacije, barioni su bili u obliku kompresibilne plazme
- **Intrinsične anizotropije** se manifestuju kao zvučni talasi u plazmi!
- Drugi (i potonji dalji) pik spektra ugaonih perturbacija - **akustični** (Saharovljev) pik

■ **Akustične oscilacije**: intermedijarne skale

⇒ skale manje od zvučnog horizonta

■ **Analogija**: lopte na opruzi u potencijalnoj jami  
(masa lopti  $\propto \Omega_B h^2$ )



- Velike talasne dužine > zvučnog horizonta ostaju pri početnim uslovima do poslednjeg rasejanja ⇒ čisti Sachs-Wolfe
- Kompresija (depresija) na poslednjem rasejanju ⇒ prvi, drugi i dalji vrhovi

Zvučni horizont



difuzija

Duge talasne dužine

Srednje talasne dužine

Vrlo rana epoha

Svi modovi su van horizonta!

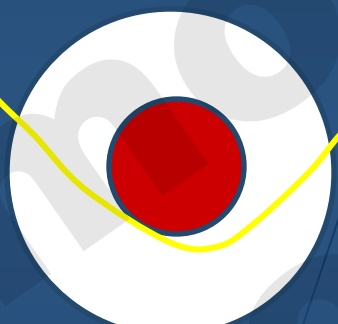
Kratke talasne dužine

zvučni horizont



difuzija

Duge talasne dužine

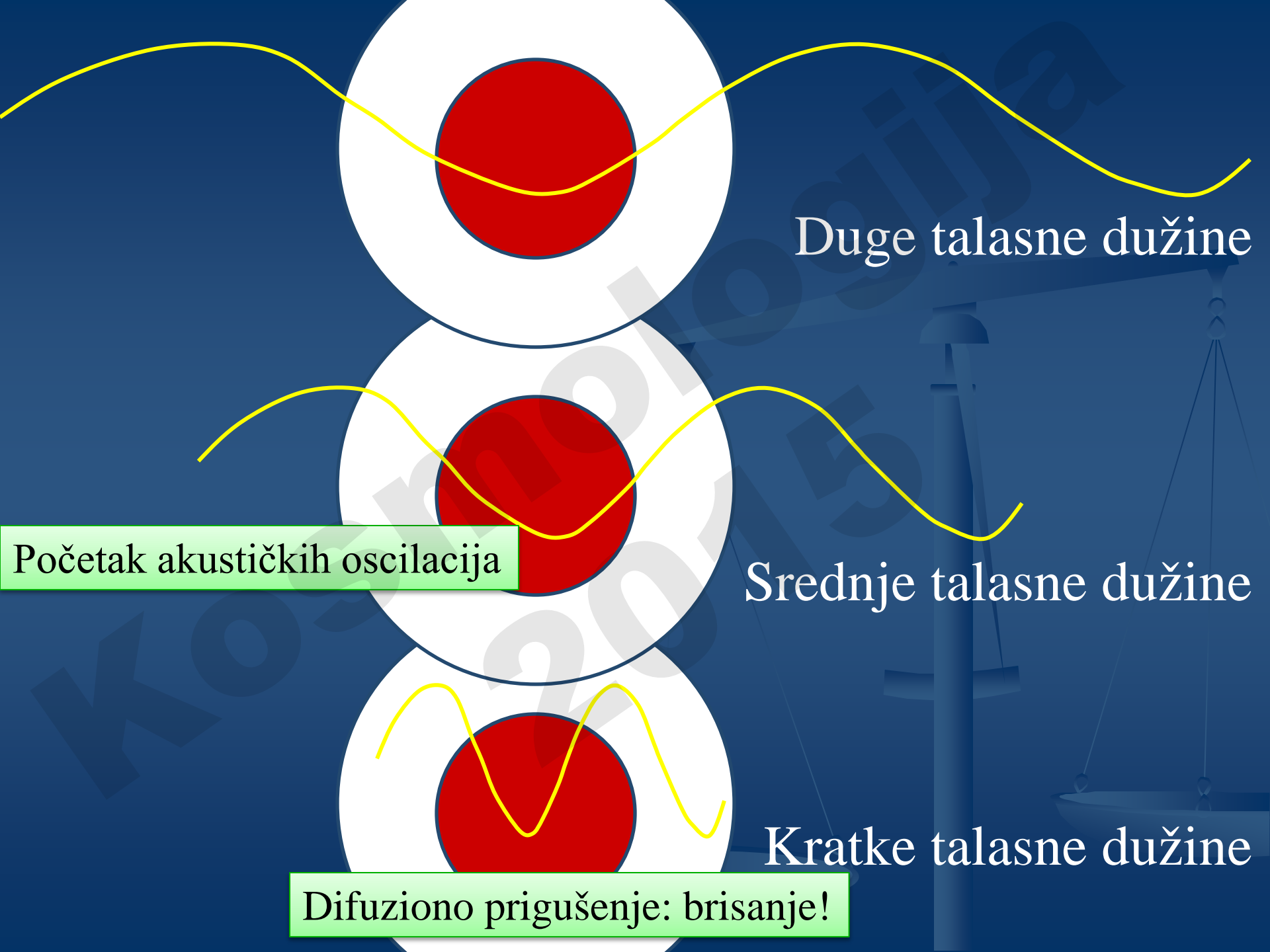


Srednje talasne dužine



Kratke talasne dužine

Početak akustičkih oscilacija



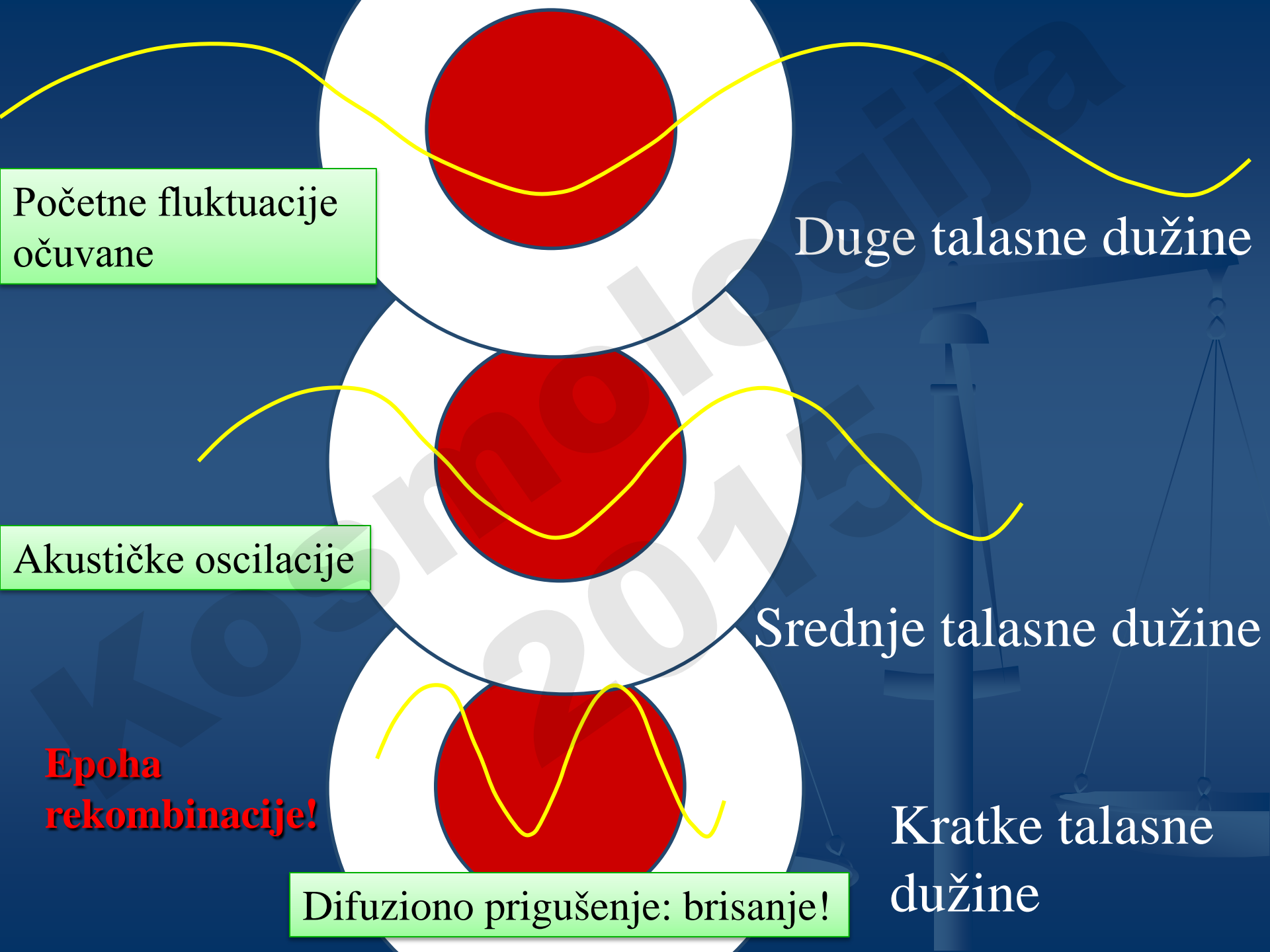
Duge talasne dužine

Srednje talasne dužine

Kratke talasne dužine

Difuziono prigušenje: brisanje!

Početak akustičkih oscilacija



# Lokacije vrhova: projekcije zvučnog horizonta

- Zvučni horizont:  $d_s^c (z=1100) = (c_s/c) d_H^c$  ( $z=1100$ )
- Čestični horizont  $d_H$



# Brzina zvuka u rekombinaciji

$$\begin{aligned}c_s^2 &= \frac{dp}{da} / \frac{d\rho}{da} \\&= (-4c^2\rho_\gamma/3) / (-4\rho_\gamma - 3\rho_b) \\&= \frac{c^2}{3} \frac{1}{1 + 3\rho_b/4\rho_\gamma}\end{aligned}$$

- gustina bariona:

$$\rho_b = (1+z)^3 \Omega_B \rho_c = 1.88 h^2 \times 10^{-29} (1+z)^3 \Omega_B \text{ g/cm}^3$$

- gustina fotona:

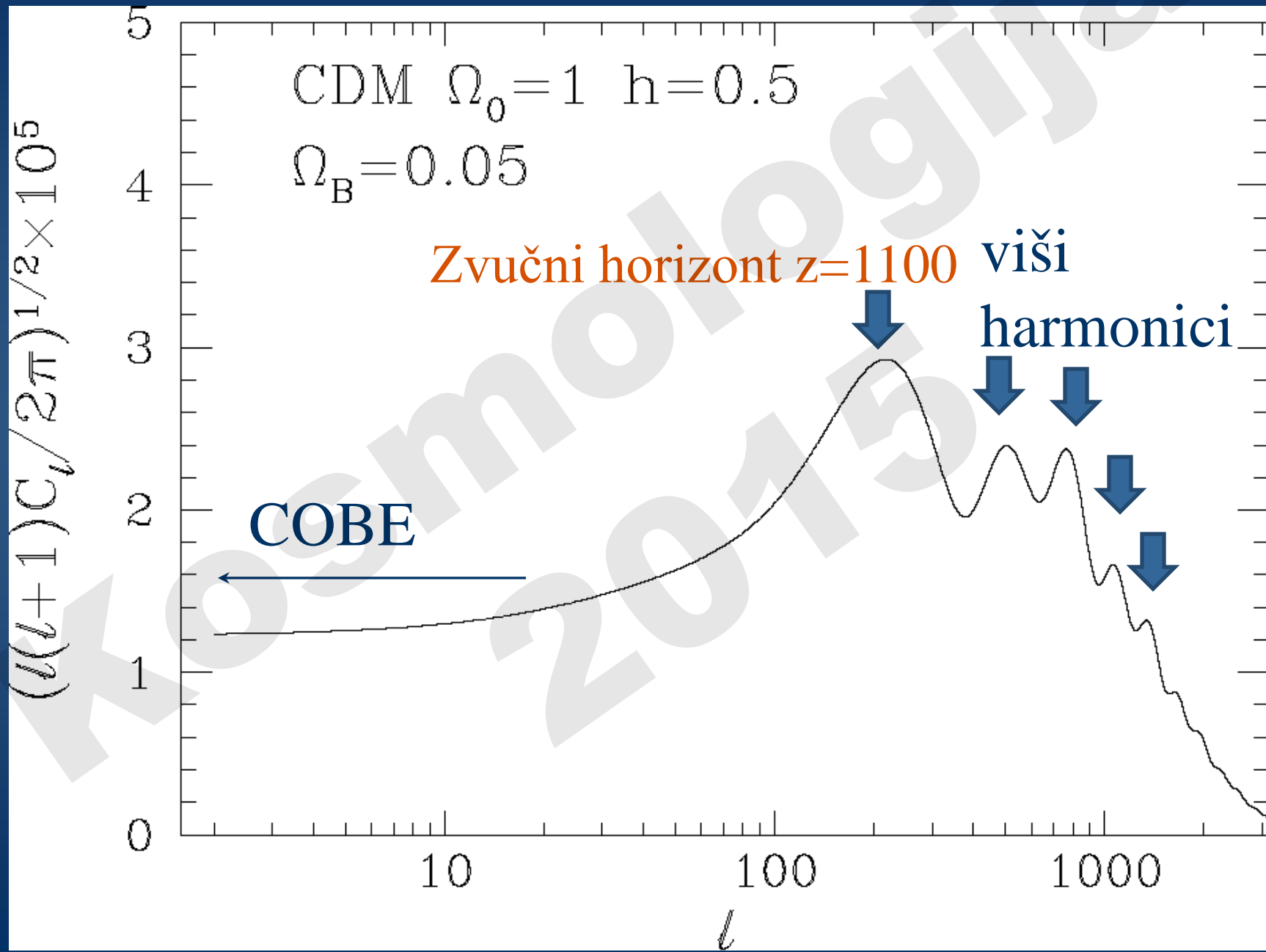
$$\rho_\gamma = 4.63 \times 10^{-34} (1+z)^4 \text{ g/cm}^3$$

$$d_s^c \equiv \int dt \frac{c_s}{a} \simeq (c_s/c)d_H$$

$$\begin{aligned} d_s^c(t_{\text{rec}}) &= \frac{1}{\sqrt{3(1 + 3\rho_b/4\rho_\gamma)}} \frac{2c}{H_0 \sqrt{\Omega_m}} (1 + z_{\text{rec}})^{-1/2} \\ &= 84 (\Omega_m h^2)^{-1/2} \text{ Mpc} \end{aligned}$$

- Ovo je za  $\Omega_B h^2 = 0.02$

# Ugaona skala



# Difuziono (Silkovo) prigušenje (*diffusion damping*)

Broj rasejanja fotona po jedinici vremena:

$$cn_e \sigma_T$$

Srednji slobodni put:

$$\lambda_f = 1/n_e \sigma_T$$

N je broj rasejanja tokom dotadašnjeg kosmičkog vremena. Za dominaciju materije ovo vreme je  $2/3H$

$$N\lambda_f = c(2/3H)$$

Difuzija slučajnim hodom:

$$\lambda_d = \sqrt{N} \lambda_f = \sqrt{2c\lambda_f / 3H}$$

Usputna difuziona skala: fizička  $\times (1+z)$

$$\lambda_d^c = (1+z)\lambda_d = 1.62 \times 10^4 (\Omega_m h^2)^{-1/4} (\Omega_b h^2)^{-1/2} (1+z)^{-5/4} \text{Mpc}$$

Na površi poslednjeg rasejanja

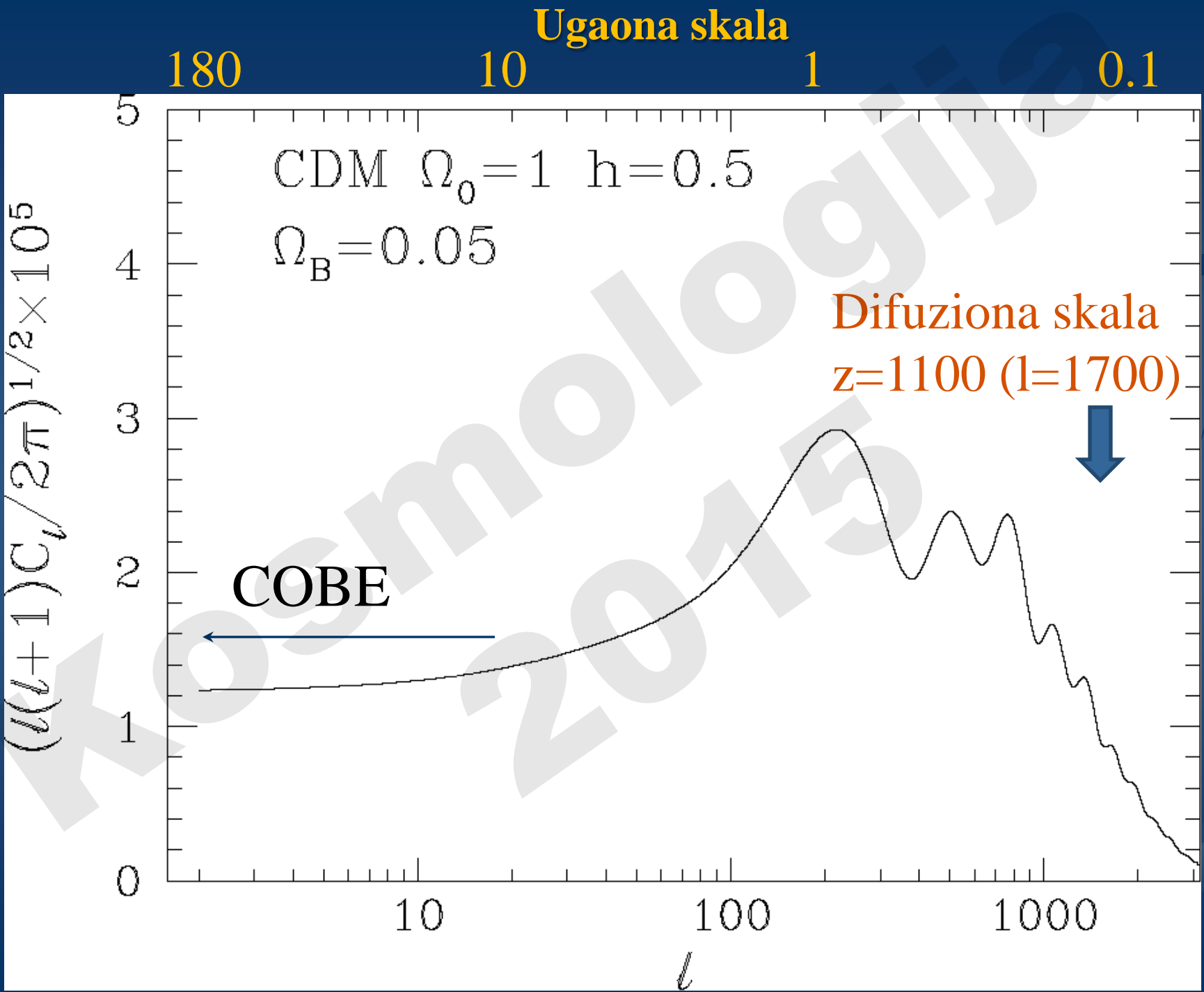
$$\lambda_d^c(t_{\text{rec}}) = 2.55 (\Omega_m h^2)^{-1/4} (\Omega_b h^2)^{-1/2} \text{Mpc}$$

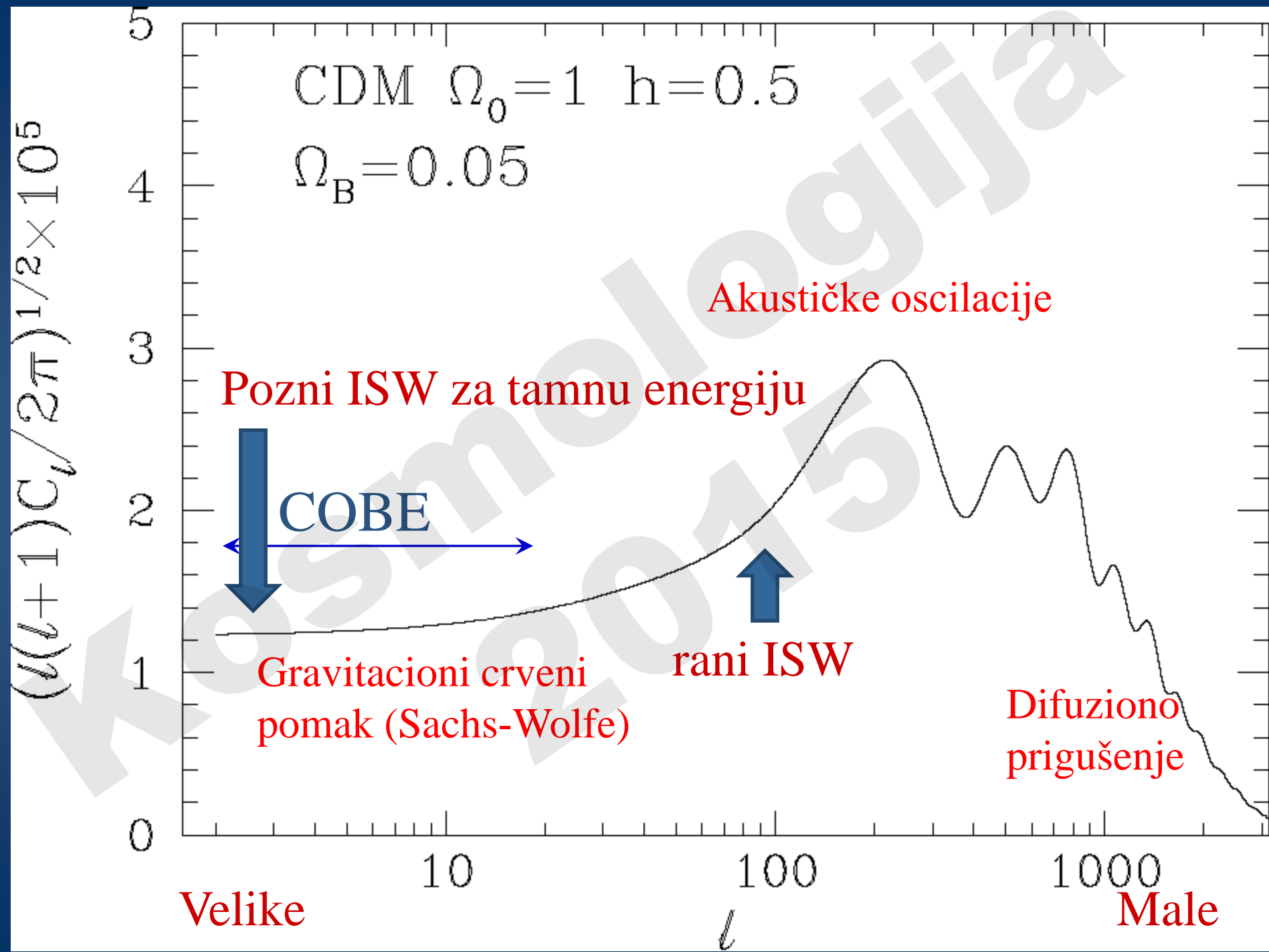
Odgovarajuće ugaone skale i  $l$  su

$$\theta_d = \lambda_d^c(t_{\text{rec}})/d_H(t_0) = 1.9 \times 10^{-4} \text{rad} = 6.4 \text{arcmin}$$

$$l_d = 180(1 \text{degree}/\theta) = 1700$$

$$\Omega_B h^2 = 0.02, \Omega_M h^2 = 0.15$$





Vreme



za



pauzu!

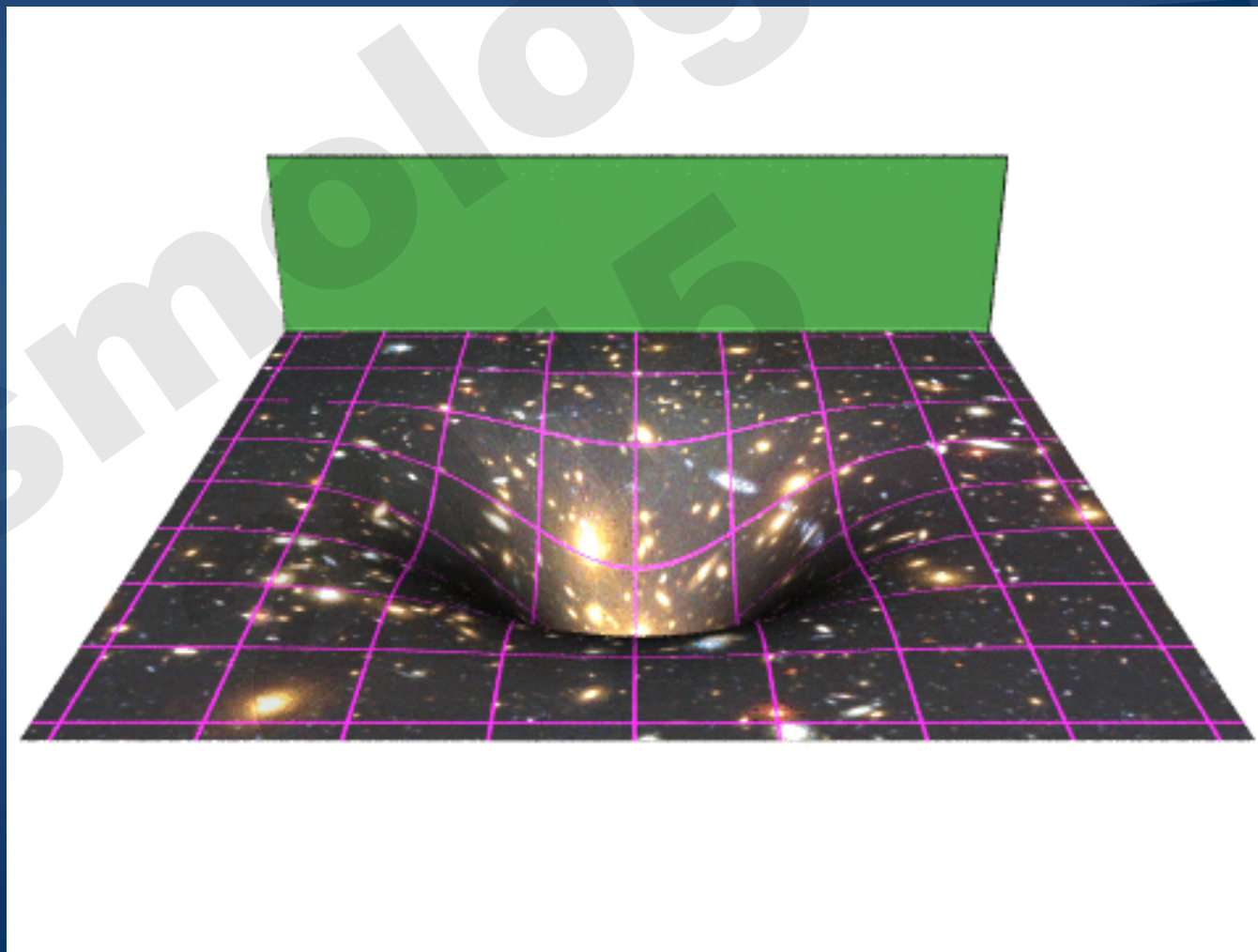
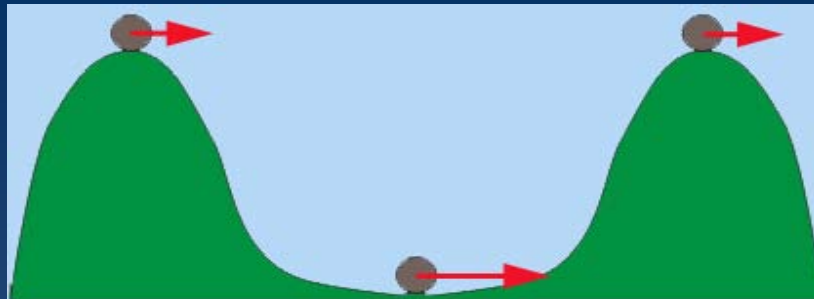


# Integrисани SW efekat

- Prolazak fotona kroz vremenski-zavisni potencijal
- Za Ajnštajn-de Siterov model potencijal je konstantan - **nema integrisanog SW efekta!**
- ISW ispituje zakrivljenost/tamnu energiju u kasnim epohama
- Tamna energija razbijanjem struktura u kasnim vremenima utiče na  $C_l$  za malo  $l$
- Ponekad se naziva **Rees-Sciama efekat**
- Ali i kad je materija počela da dominira, potencijali su se smanjili, što daje doprinos na  $l \sim 100-200$

kasni ISW

rani ISW



# Šta stvara vremenski zavisan potencijal?

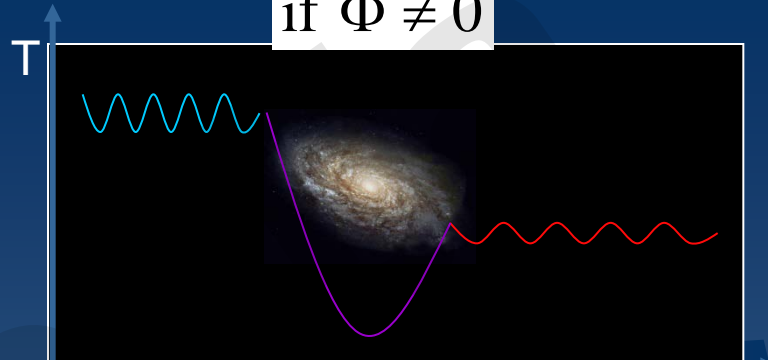
- Tamna energija! ISW može biti odličan test tamne energije.
  - fluktuacije temperature se generišu rastom (raspadom) strukture na velikoj skali ( $z \sim 1$ )



Foton stiće plavi  
pomak zbog raspada  
 $E=|\Psi_1-\Psi_2|$

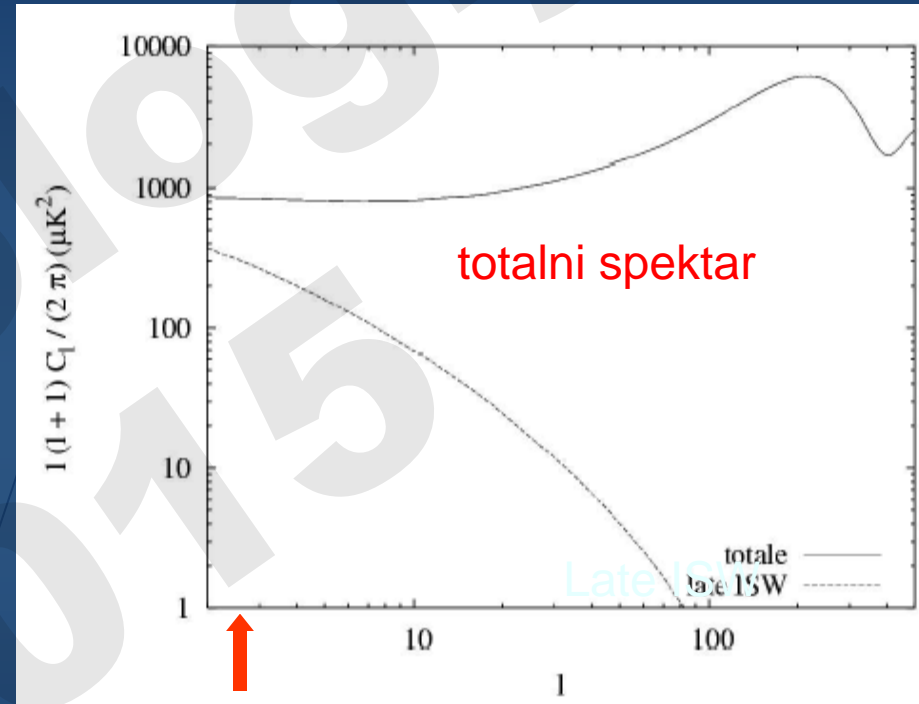
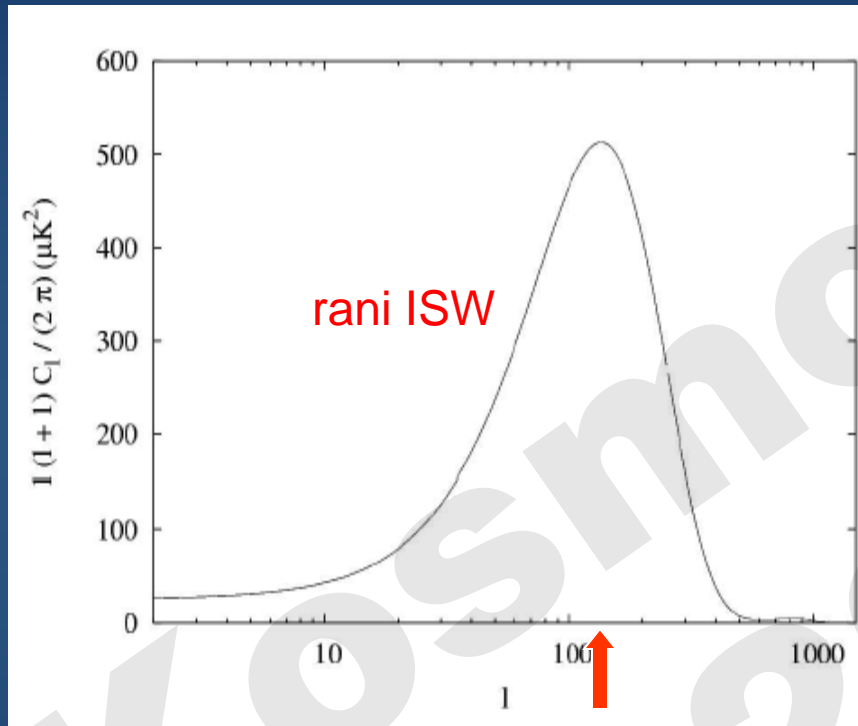
Gravitacioni potencijal strukture  
se raspada zbog tamne energije

if  $\dot{\Phi} \neq 0$



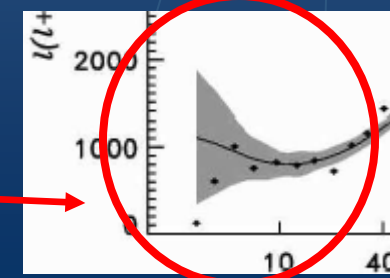
- Obični SW:  
$$\Theta_{USW} \propto \Delta\Phi$$
- Integrisani SW:  
$$\Theta_{ISW} = 2 \int_{\gamma} \dot{\Phi}[r(t), t] dt$$
- Nema efekata u epohi dominacije materije  
$$(\delta_m \propto a \Rightarrow \dot{\Phi} = 0)$$

# Rani i kasni ISW



- Sveukupno je ISW oko 10% totalne anizotropije
- Problem "kosmičke varijanse":

$$\frac{\Delta C_l}{C_l} = \sqrt{\frac{2}{2l+1}}$$

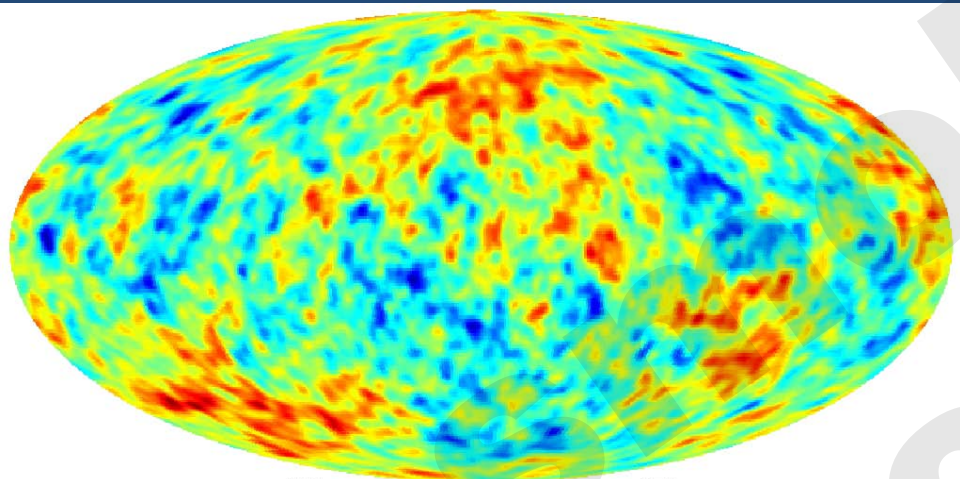


# “The Axis of Evil” (!)



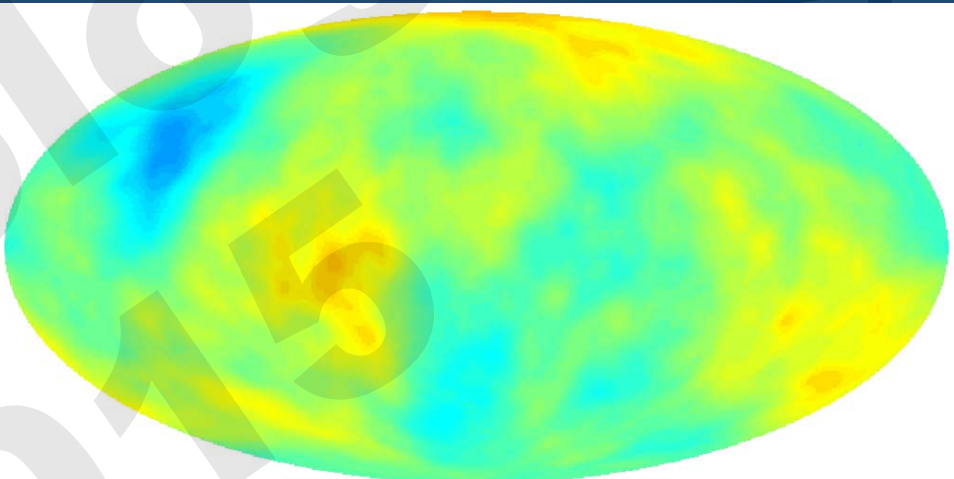
- Gde su nestali  $l=2,3$  ?
- I šta (dođavola) rade u ravni ekliptike?
- Kada je koincidencija **samo** koincidencija?

# Dve nezávislé CMB mapy



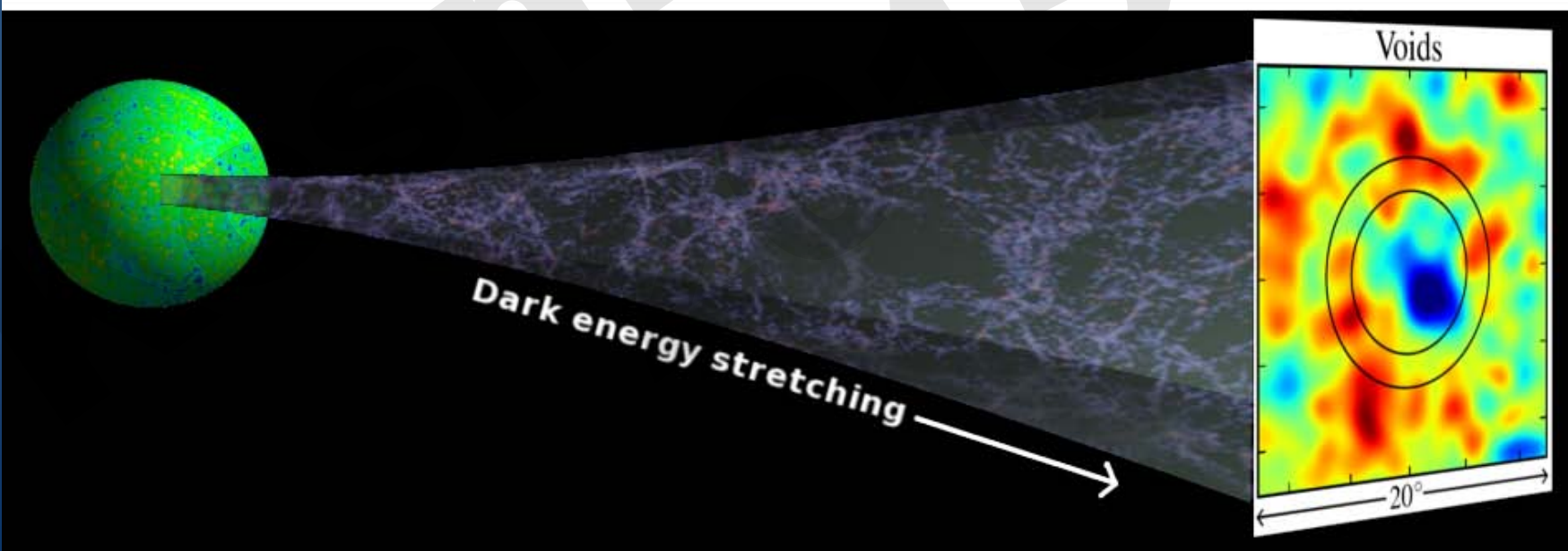
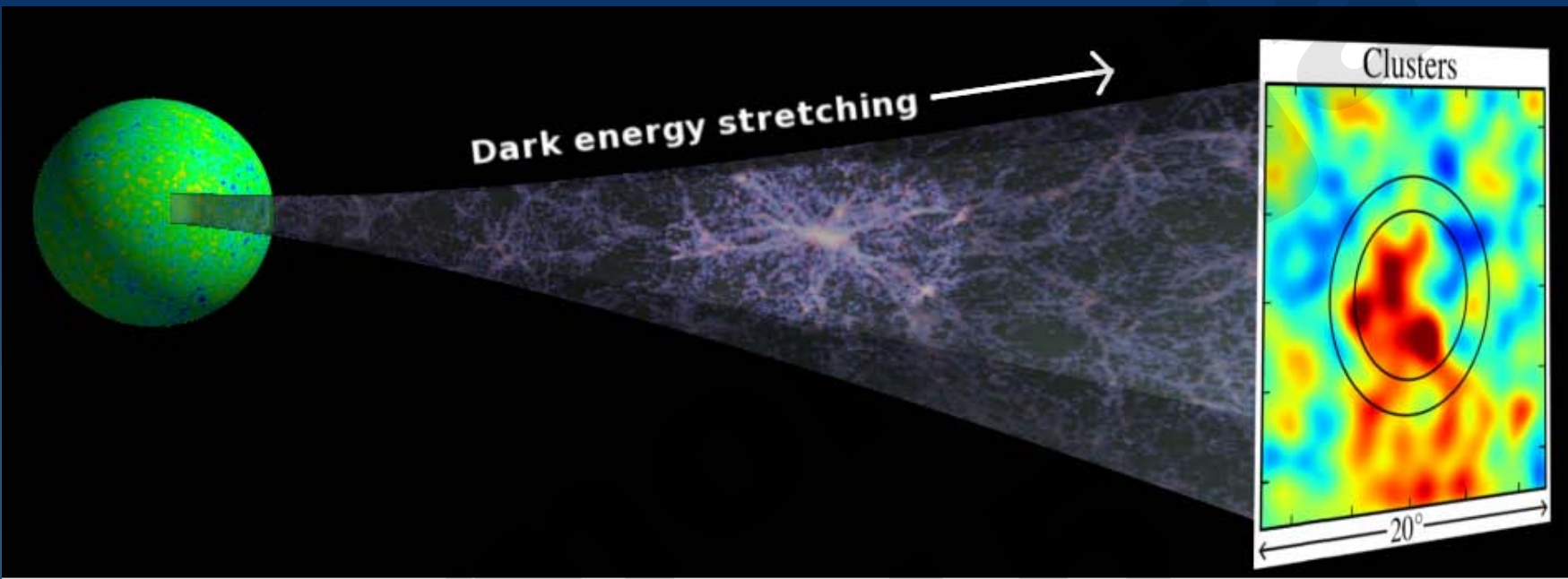
Rána mapa,  $z \sim 1000$

(SW + akustični talasi + rani  
ISW)



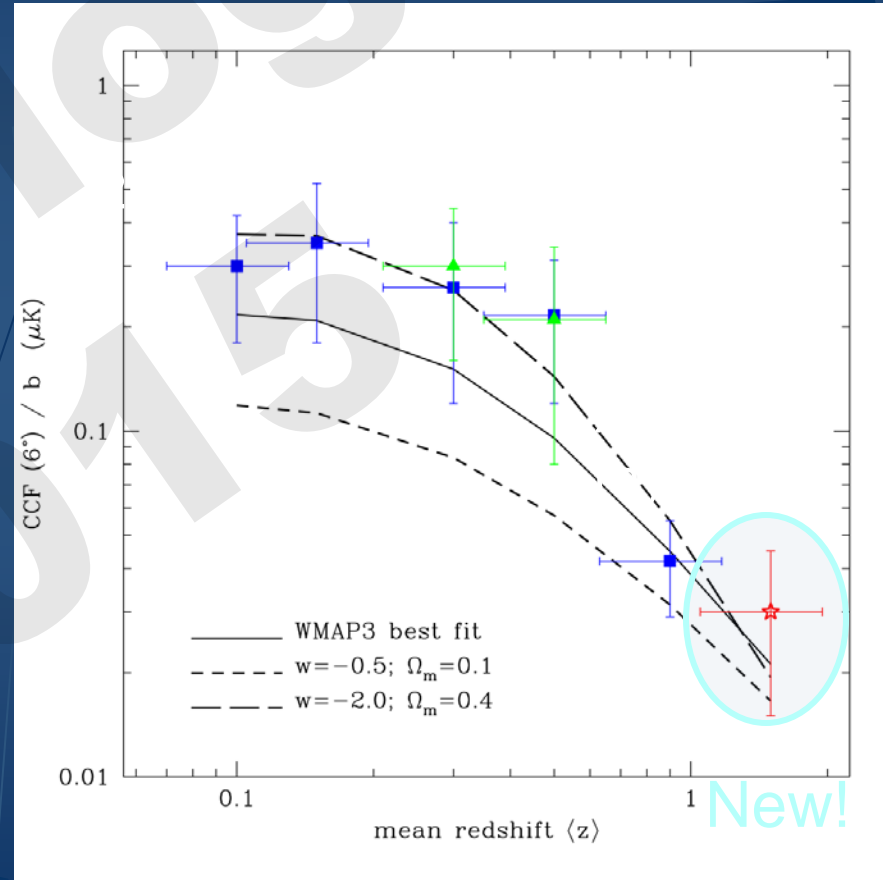
Kasna mapa,  $z < 4$

(Kasni ISW + SZ + slaba sočiva)



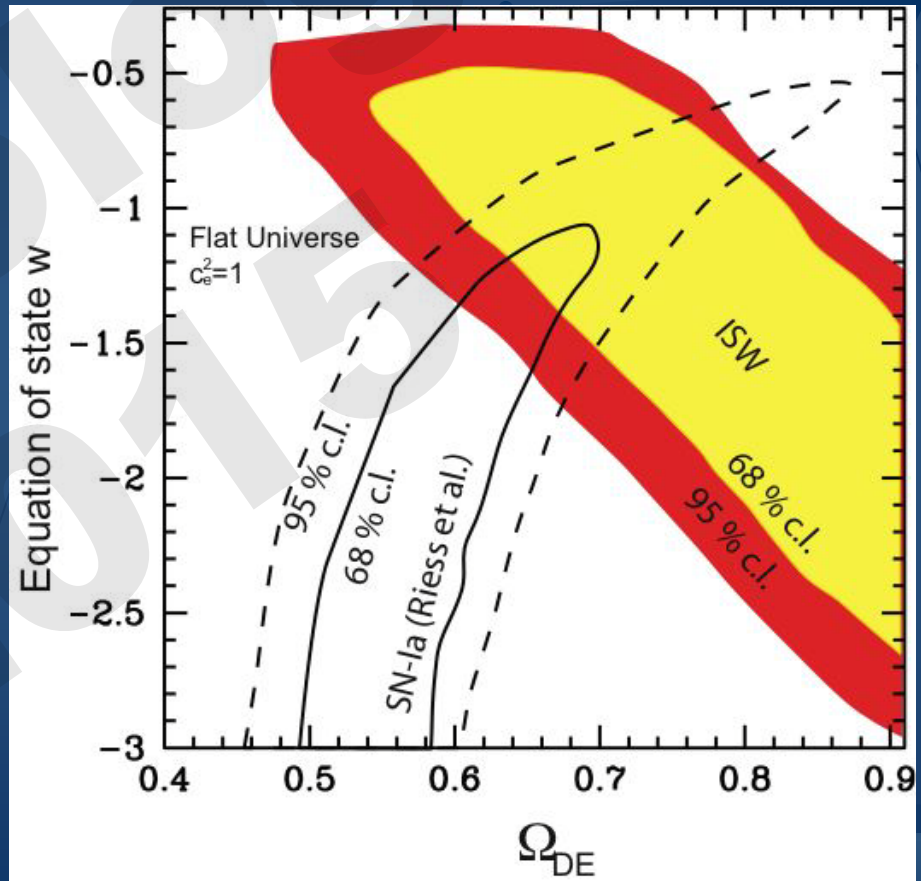
# Detekcije ISW...

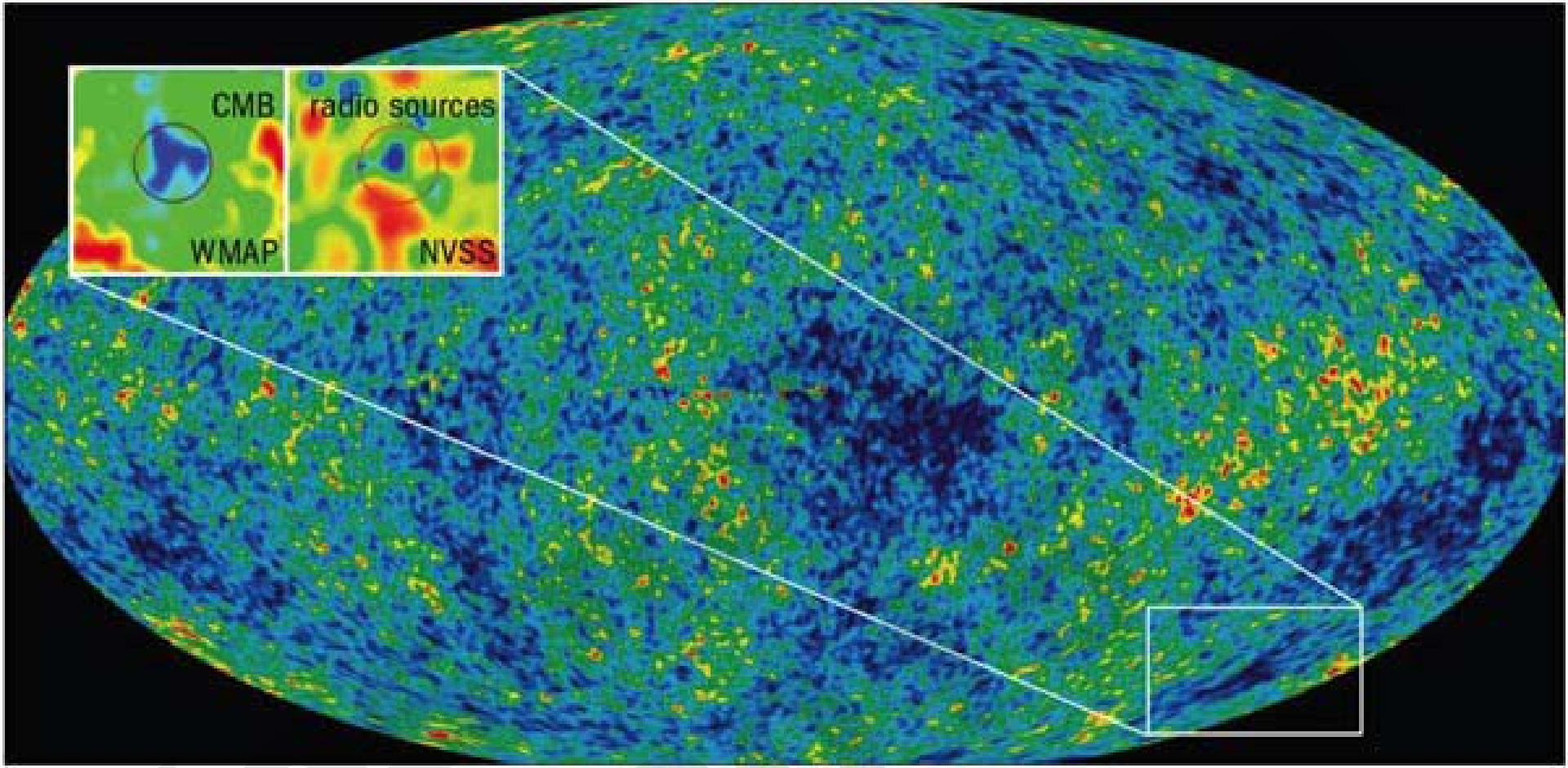
- Korelacijske viđene na više frekvenciji na velikom rasponu crvenog pomaka!
- Sve saglasne sa Novim standarnim kosmološkim modelom, mada nešto jače nego što je očekivano. (lakše za detekciju!)
- Postoji kovarijansa među različitim posmatranjima.
- Korelacijske na  $6^\circ$  da bi se izbegla kontaminacija SZ i drugim efektima na veoma malim uglovima.



# Šta saznajemo o jednačini stanja za $\Lambda$ ?

- Za sada još uvek vrlo slaba ograničenja iz ISW!
- Rezultati saglasni sa novim standardnim kosmološkim modelom.
- Mogu se odbaciti modeli sa mnogo većim ili negativnim korelacijama.
- Ima prostora za mnogo dalje rada!





WMAP Hladna mrlja je ISV uzrokovana super-prazninom (supervoid); pošto Rudnick et al. (2007) pronađe koincidentan pad u NVSS odboru radiogalaksija u Hladnoj mrlji.

**Super-praznina:** 140 Mpc (!!!) na  $z \leq 1$

Tipična praznina: 3-5 Mpc

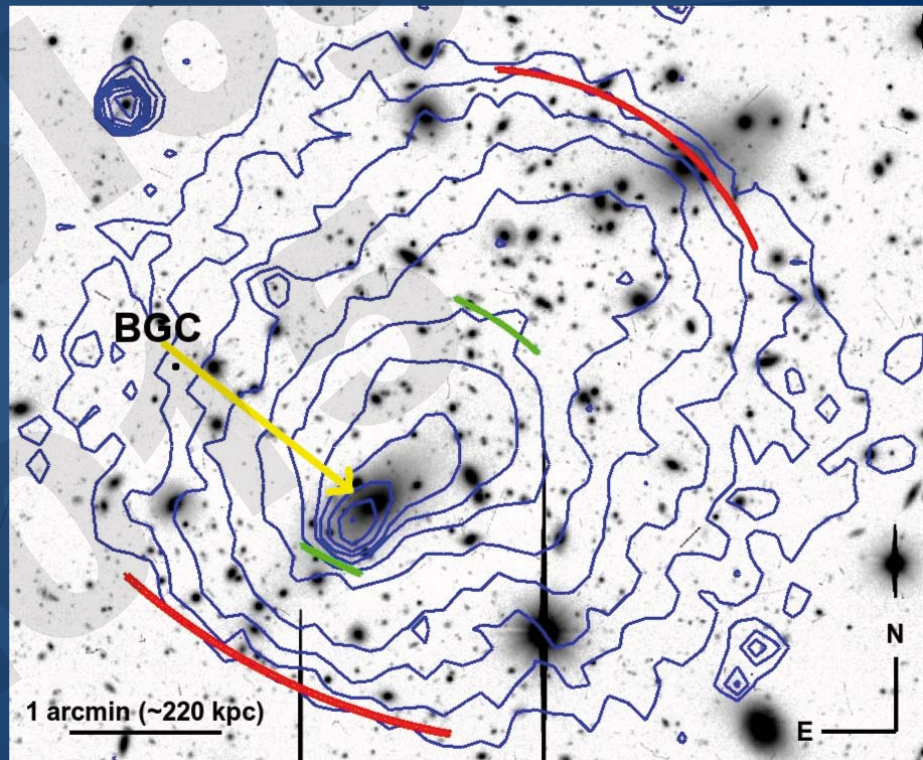
# Šta još utiče na mapu CMB-a?

- **Termalni Sunjajev-Zeljdovičev efekat**  
Inverzno Komptonovo rasejanje u vrelom gasu u jatima: signal zavisi od frekvencije.
- **Kinetički Sunjajev-Zeljdovičev efekat (kSZ)**  
Doplerov pomak od kretanja jata galaksija i drugih oblasti rejonizacije; signal (skoro) nezavisan od frekvencije.
- **Ostriker-Vishniac efekat (OV)**  
Isto kao kSZ, ali za rana linearna kretanja.
- **Gravitaciona sočiva - megasočiva**  
Deformacija mape CMB od globalne zakriviljenosti svemira.
- **Gravitaciona sočiva – slaba sočiva**  
Deformacija mape CMB od lokalnih zakriviljenosti sa velikim impakt parametrom.

# Sunjajev-Zeljdovičev efekat – vrlo ukratko

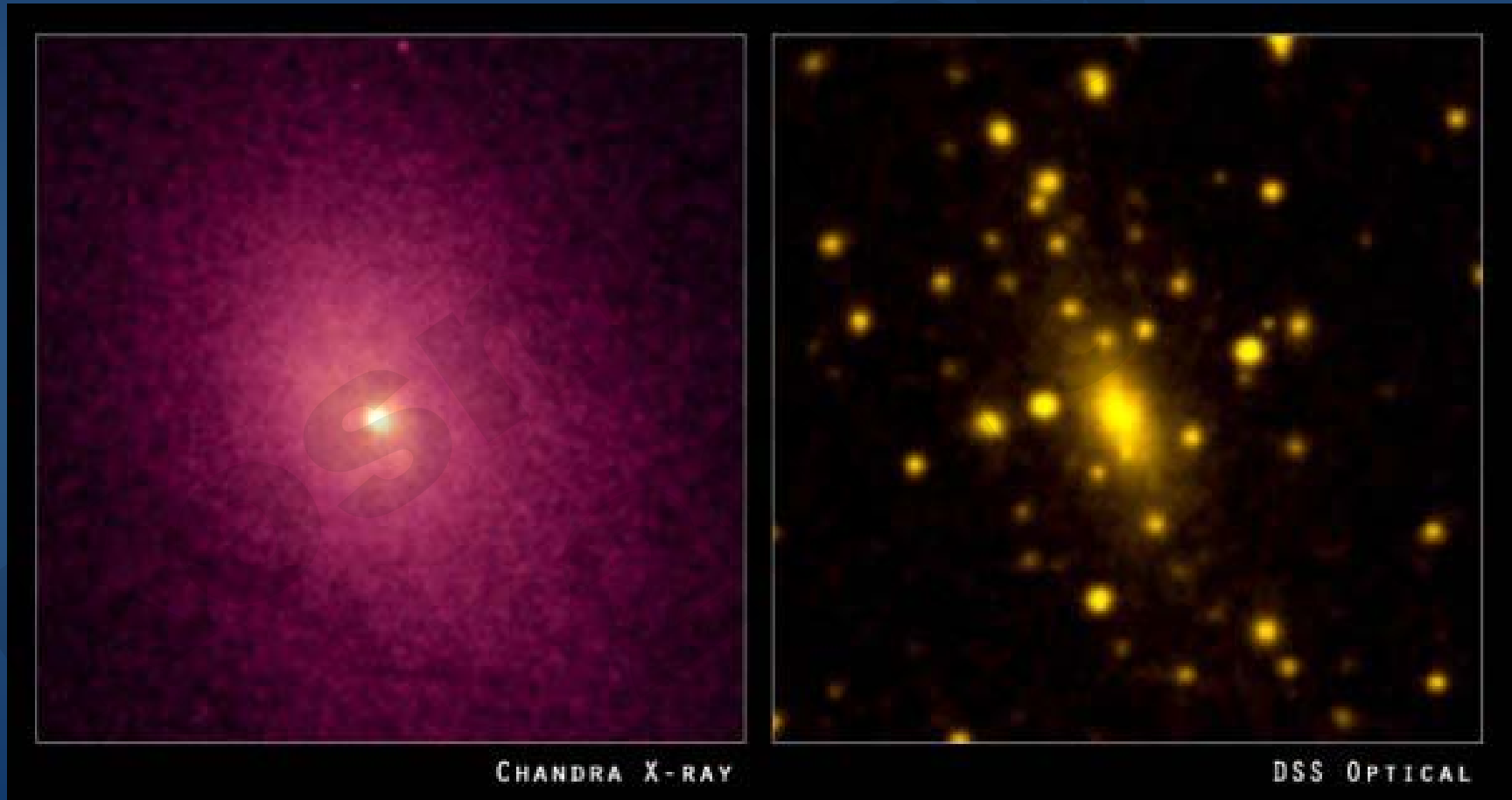
- Svi znamo (ahem, trebalo bi!) da su bogata jata galaksija ispunjena rendgenskim gasom na  $T \sim 10^6$  K...
- Poreklo gasa nedovoljno jasno (ima i rendgenskih linija Fe, isl.)!
- Virijalna teorema:

$$k_B T_e \approx \frac{GMm_H}{2R_{\text{eff}}}$$
$$\approx 7 \left( \frac{M}{3 \times 10^{14} M_\odot} \right) \left( \frac{R_{\text{eff}}}{1 \text{ Mpc}} \right)^{-1} \text{ keV}$$



- Abell 2146 ( $z = 0,243$ )

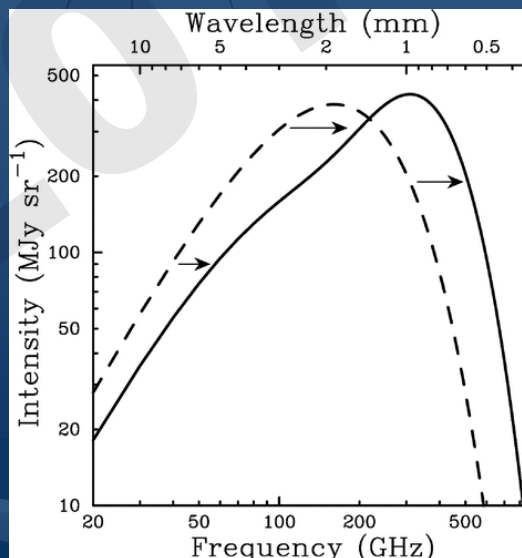
# Abell 2029



# Teorija...

- Sunjajev & Zeljdović (1970)
- Inverzno Komptonovo rasejanje na slobodnim elektronima u jatima dovodi do distorzije spektra i temperaturne anizotropije:

$$\frac{\Delta T}{T} = -2 \frac{\sigma_T k}{m_e c^2} \int n_e T_e dl$$



- Ne zavisi od  $z$ !!!



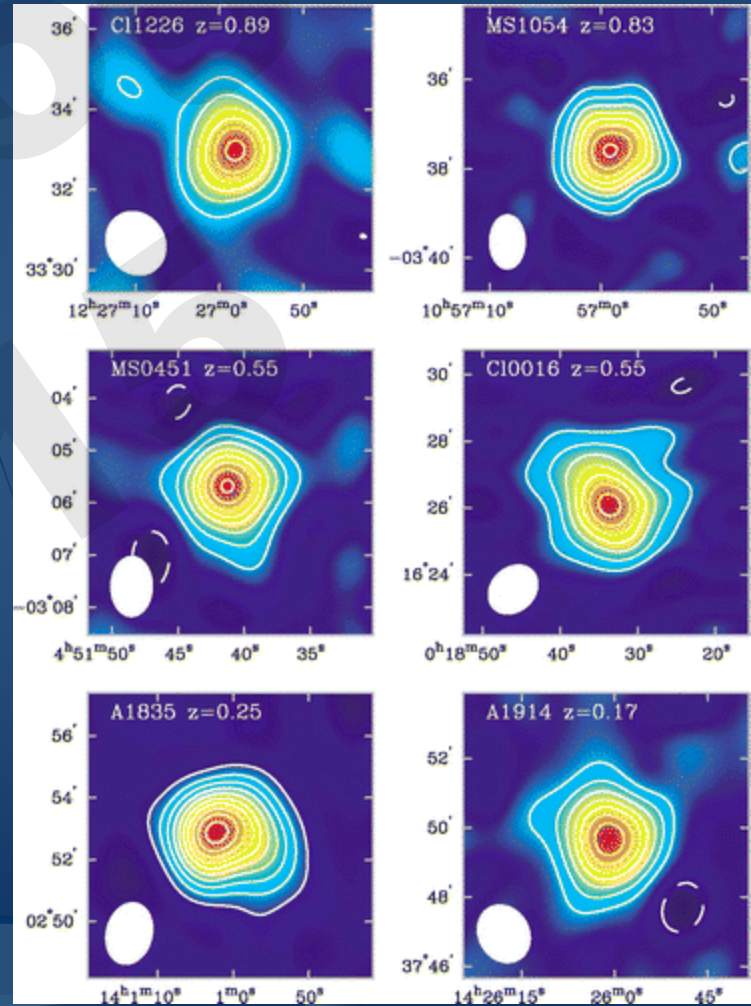
# ...i posmatranja!

- Mnogo lažnih uzbuna tokom 70-tih i 80-tih...
- Prvi pouzdani rezultati (Lake & Partridge 1980) za Abell576:

$$\Delta T = -1.27 \pm 0.28 \text{ mK}$$

- Moderni rezultati, npr.

$$\Delta T_{A2218} = -0.40 \pm 0.05 \text{ mK}$$



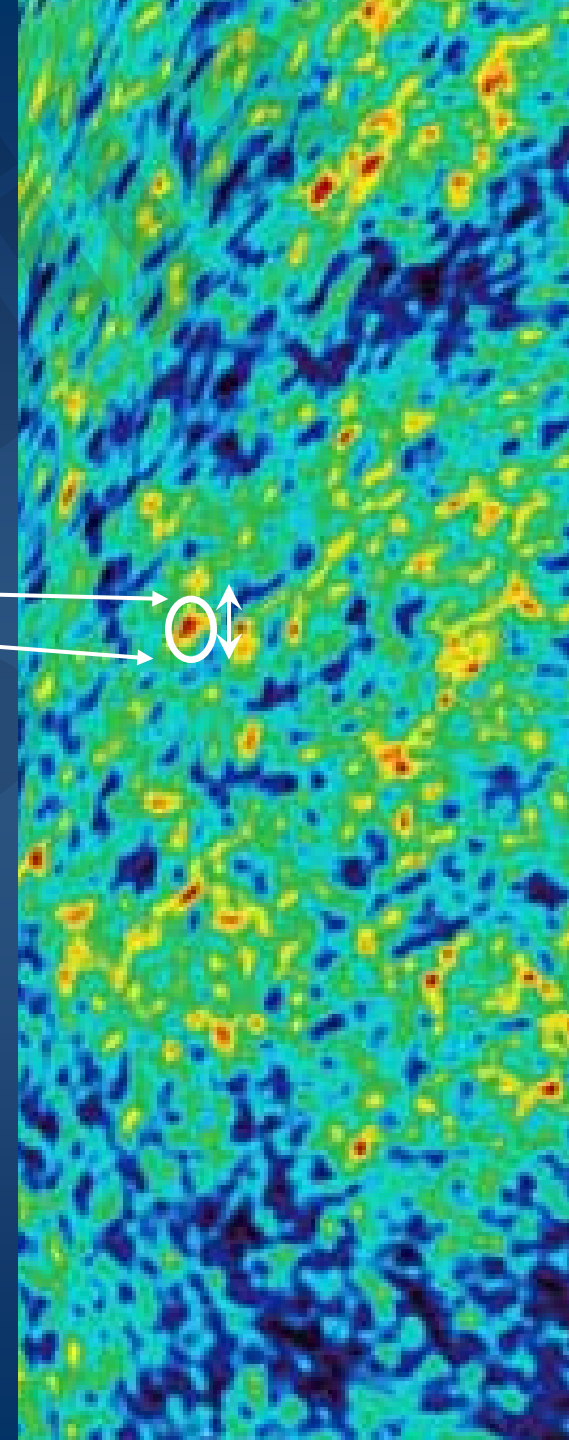
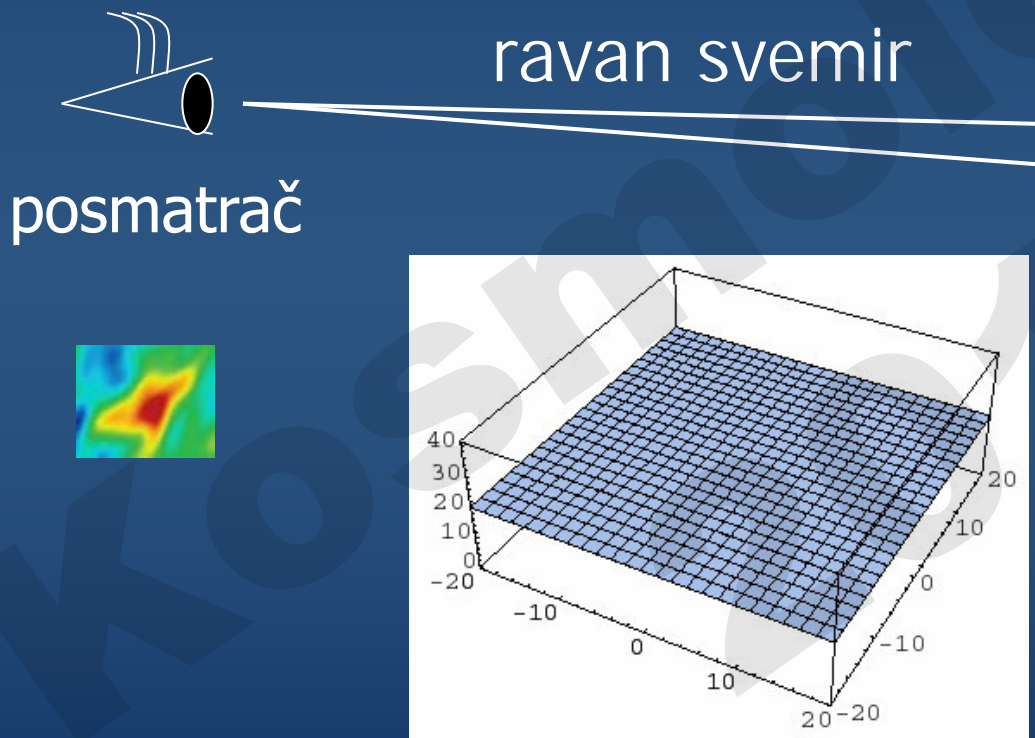
# Nedavna (2013) detekcija kinetičkog SZ efekta



- MACS J0717.5+3745
- $M > 10^{15} M_{\odot}$  (!)
- 4 podklastera: A, B, C, D
- A, C, D – relativno miruju, B se kreće ka nama sa  $\Delta v \sim 3000$  km/s.
- Sayers et al. (2013) – prva detekcija kSZ na 140GHz i 268 GHz

# Gravitaciona sočiva

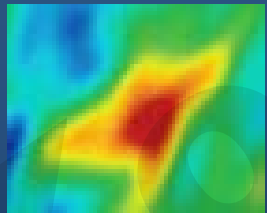
Transfer zračenja  
zavisi od zakrivljenosti



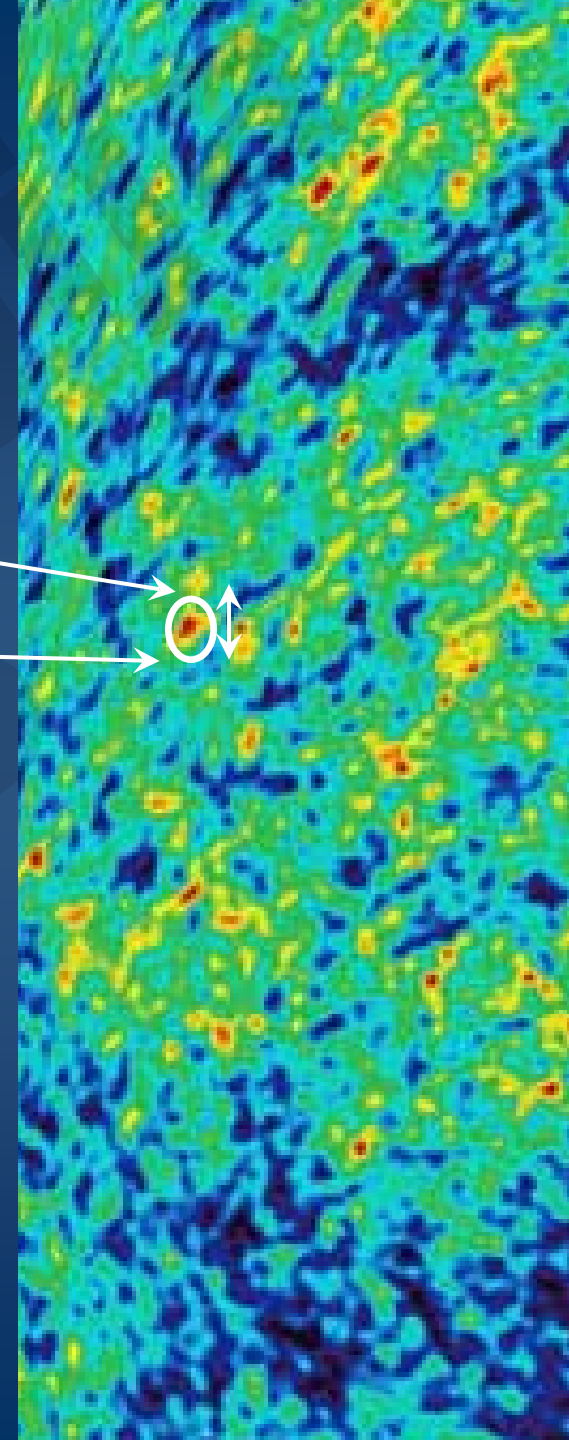
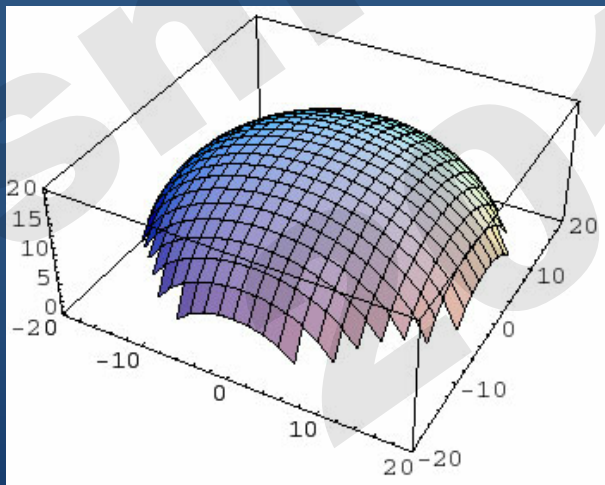
pozitivna zakrivljenost



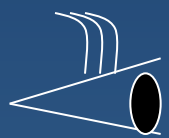
posmatrač



uvećanje!



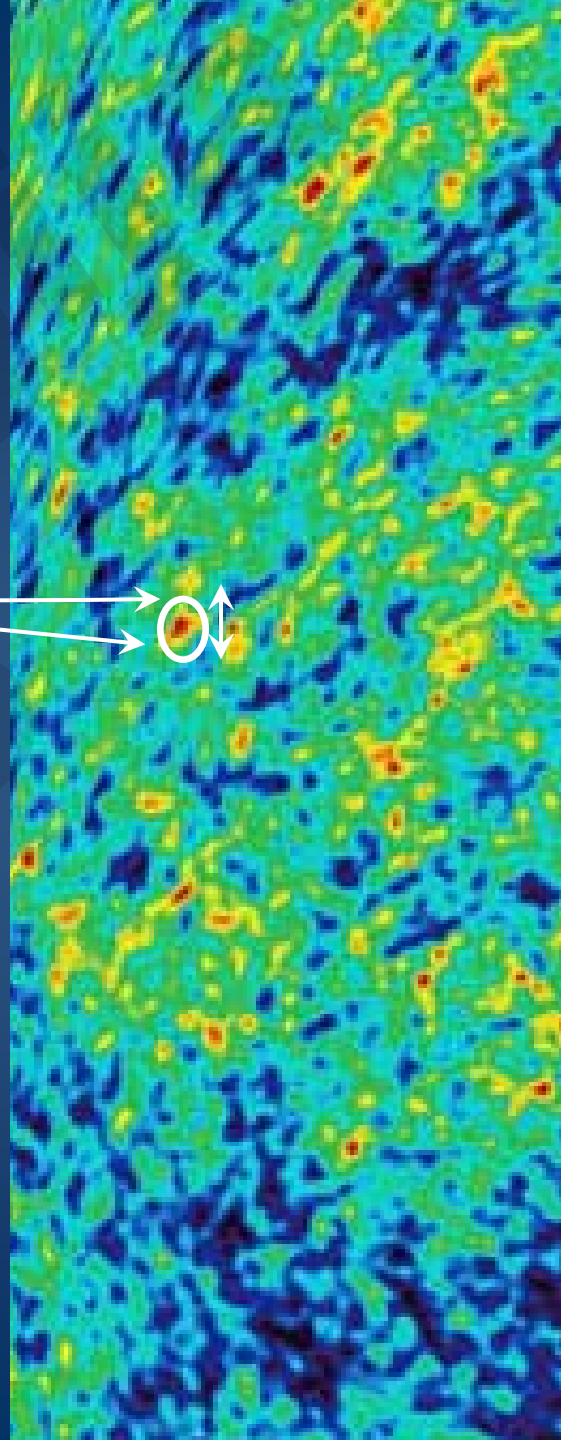
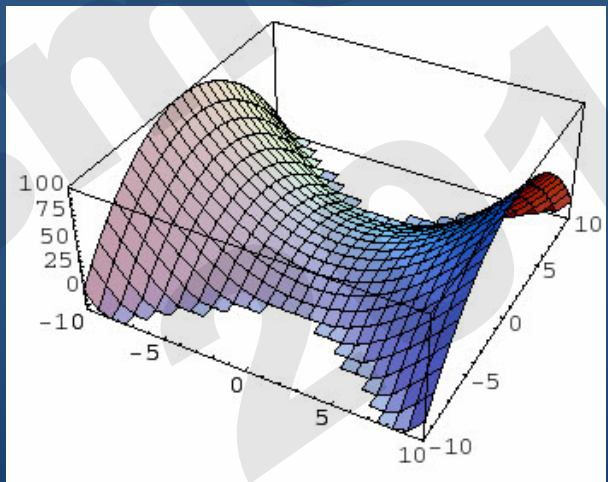
negativna zakrivljenost



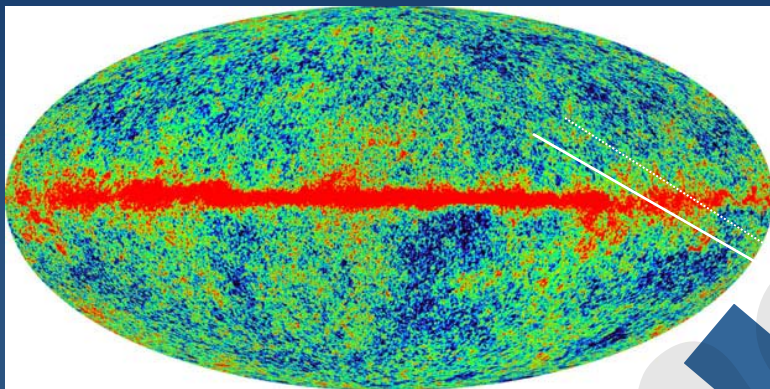
posmatrač



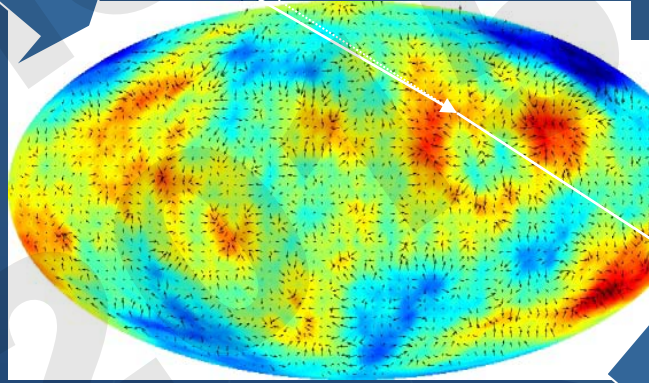
smanjenje!



# Slaba gravitaciona sočiva i CMB



Površ poslednjeg rasejanja



Nehomogeni svemir  
- fotoni deflektovani

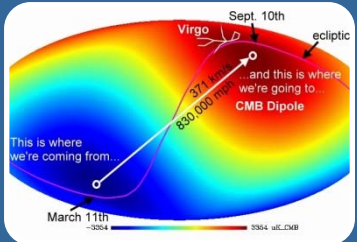
Gunn (1967): "On the Propagation of Light in Inhomogeneous Cosmologies. I. Mean Effects". *Astrophysical Journal* **150**: 737



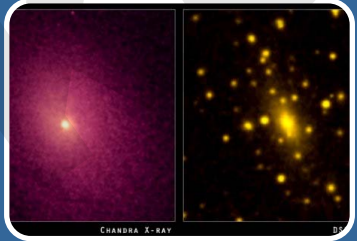
posmatrač



# Nastavice



se



!